

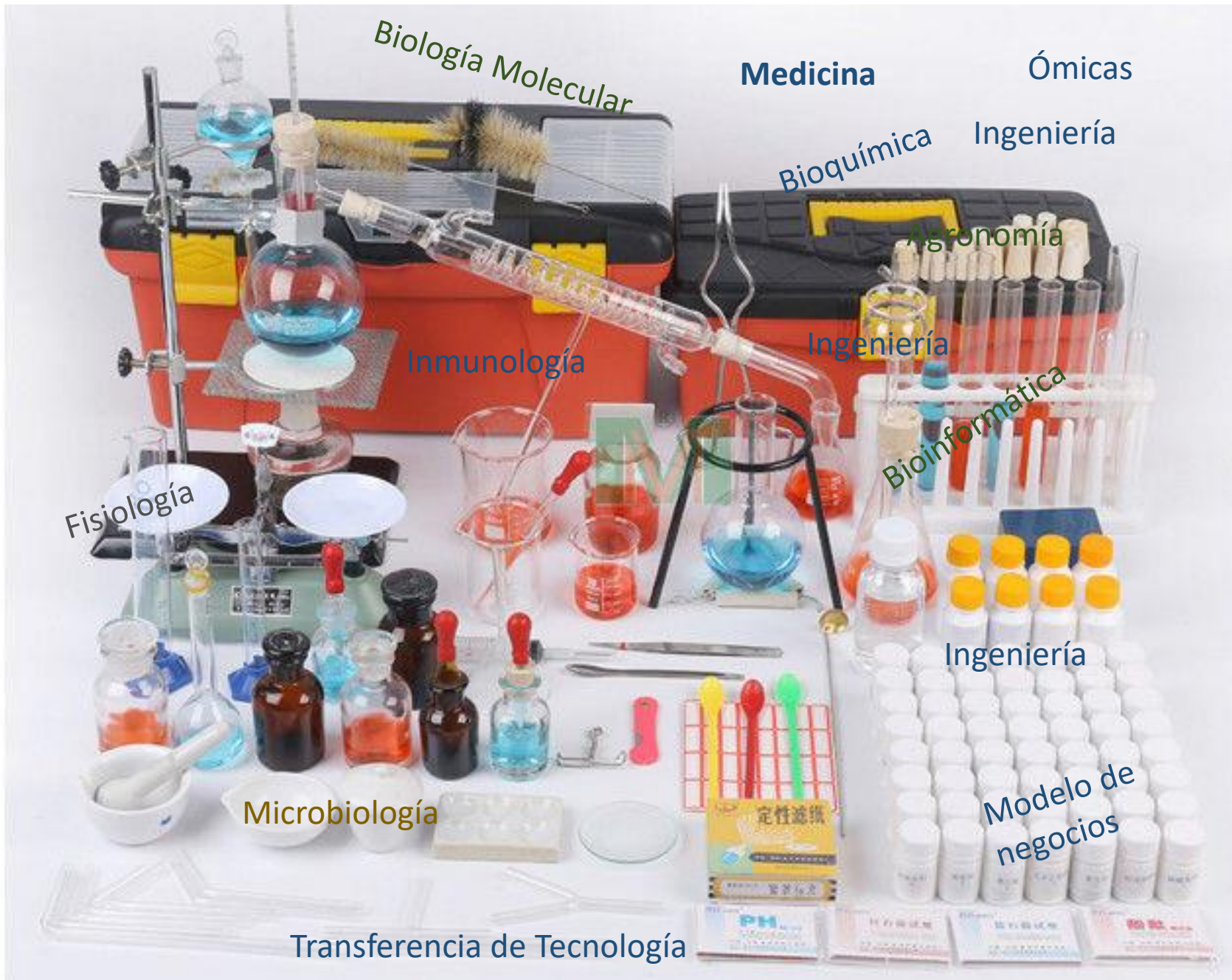


Simposio: Tendencias de la Fitosanidad
UNIVERSIDAD AUTÓNOMA CHAPINGO



El uso de la Biotecnología en la protección vegetal

Beatriz
Xoconostle



Biología Molecular

Medicina

Ómicas

Bioquímica

Ingeniería

Agronomía

Inmunología

Ingeniería

Fisiología

Bioinformática

Ingeniería

Microbiología

Modelo de negocios

Transferencia de Tecnología



OBJETIVOS DE DESARROLLO SOSTENIBLE

1 FIN DE LA POBREZA

2 HAMBRE CERO

3 SALUD Y BIENESTAR

4 EDUCACIÓN DE CALIDAD

5 IGUALDAD DE GÉNERO

6 AGUA LIMPIA Y SANEAMIENTO

7 ENERGÍA ASEQUIBLE Y NO CONTAMINANTE

8 TRABAJO DECENTE Y CRECIMIENTO ECONÓMICO

9 INDUSTRIA, INNOVACIÓN E INFRAESTRUCTURA

10 REDUCCIÓN DE LAS DESIGUALDADES

11 CIUDADES Y COMUNIDADES SOSTENIBLES

12 PRODUCCIÓN Y CONSUMO RESPONSABLES

13 ACCIÓN POR EL CLIMA

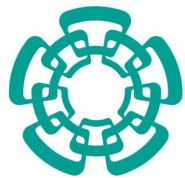
14 VIDA SUBMARINA

15 VIDA DE ECOSISTEMAS TERRESTRES

16 PAZ, JUSTICIA E INSTITUCIONES SÓLIDAS

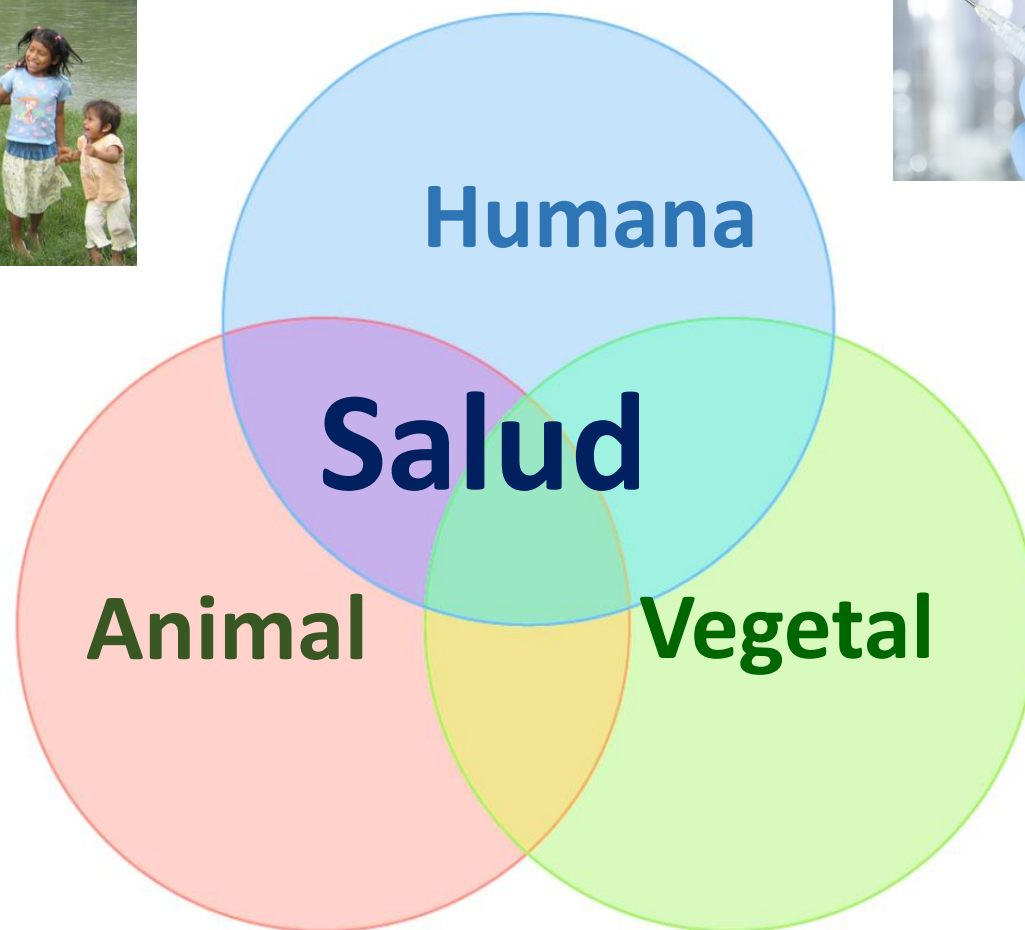
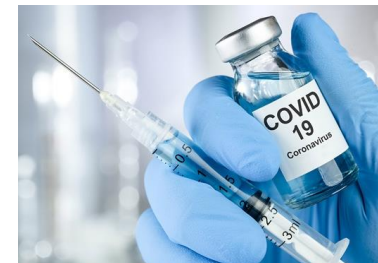
17 ALIANZAS PARA LOGRAR LOS OBJETIVOS

OBJETIVOS DE DESARROLLO SOSTENIBLE



Cinvestav

México con Salud



FAO, 2012.

Caracterización de enfermedades emergentes

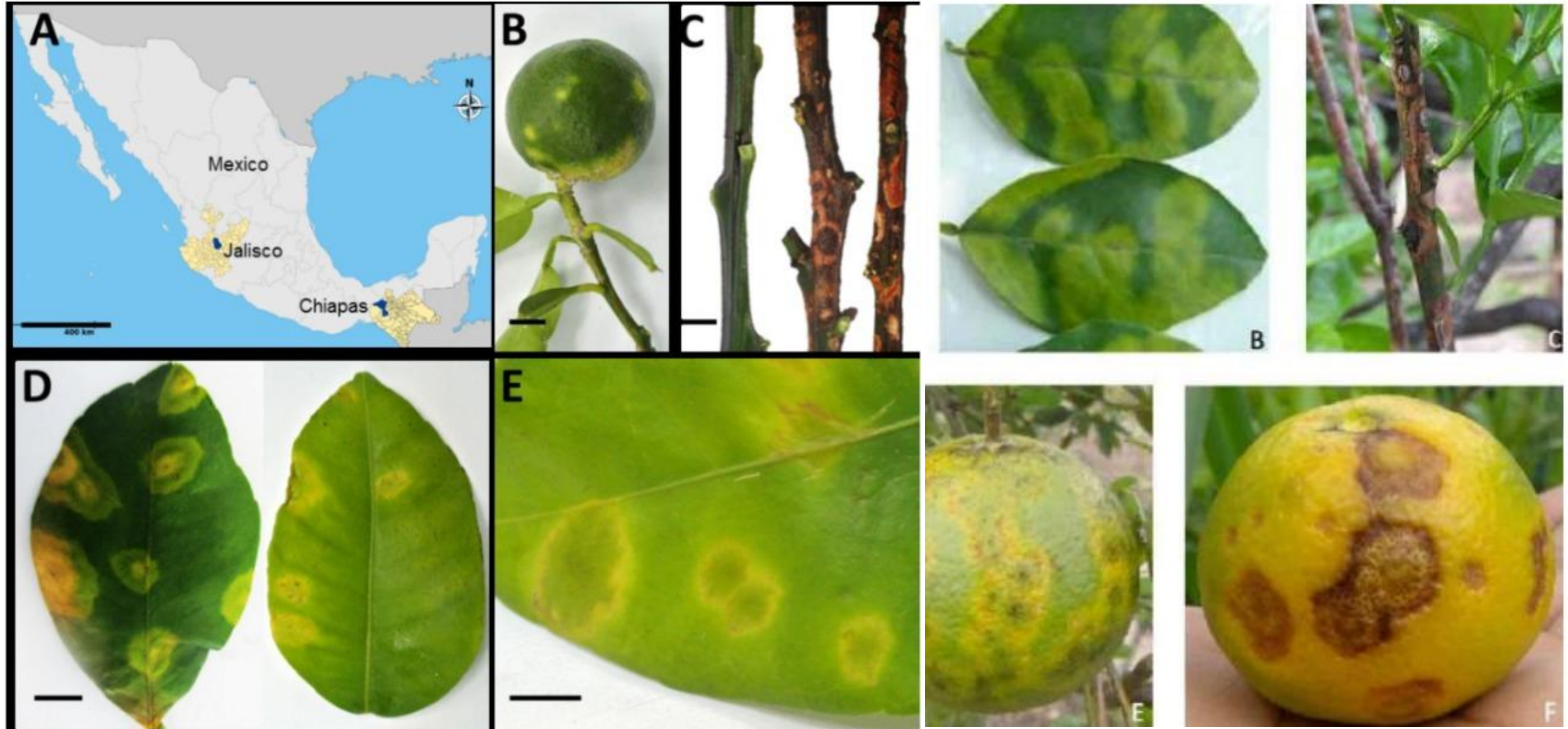




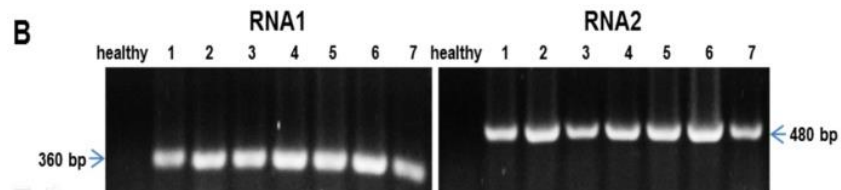
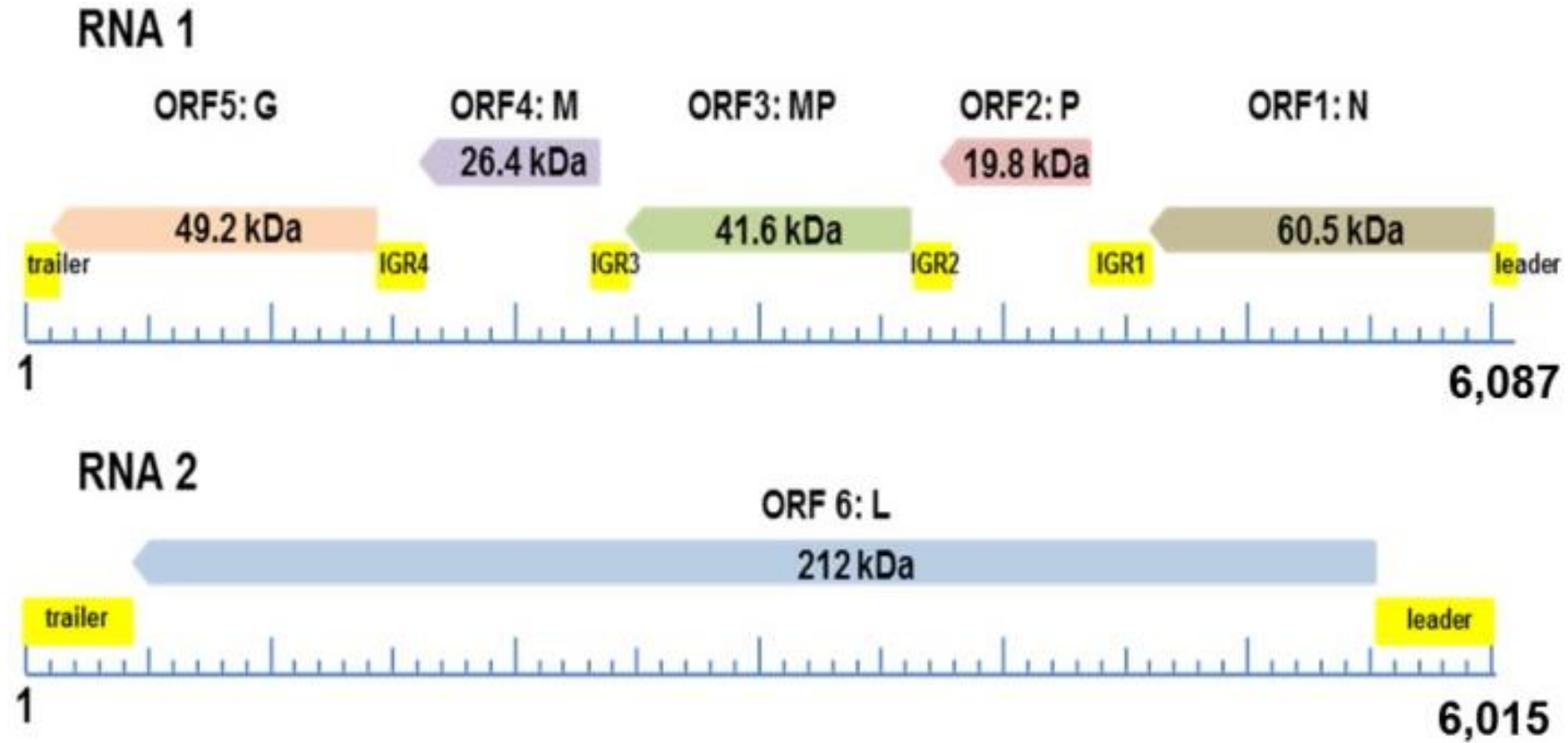
Enfermedades de cítricos

- **Leprosis** / *Brevipalpus spp.*
- **Tristeza de los cítricos** / *Toxoptera citricida*
 - **HLB** / *Diaphorina citri*

Citrus leprosis

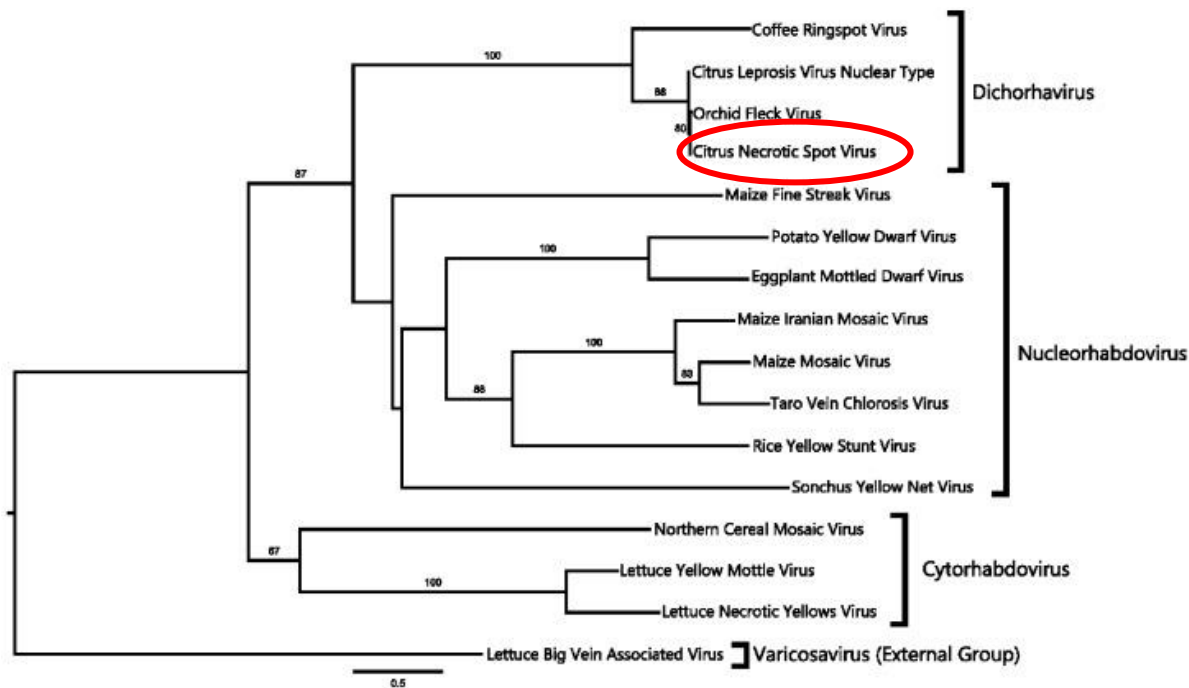


Genoma de CNSV

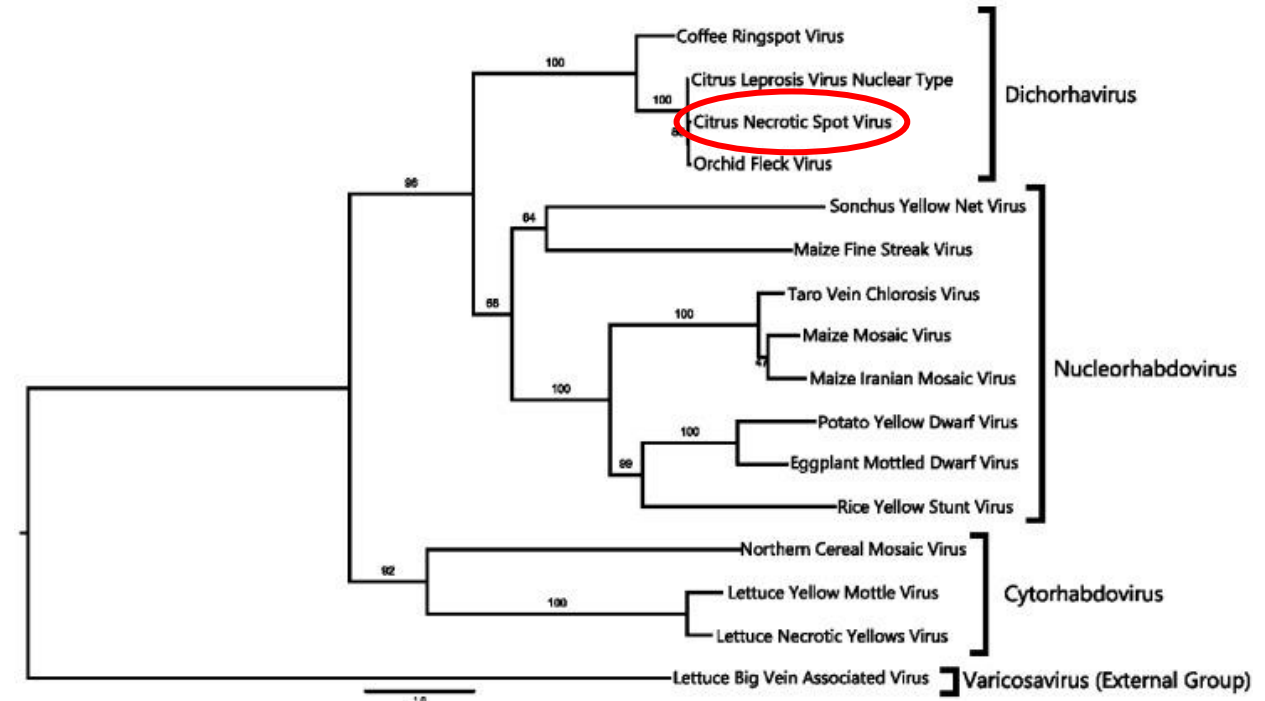


Filogenia de CNSV

Nucleocápside



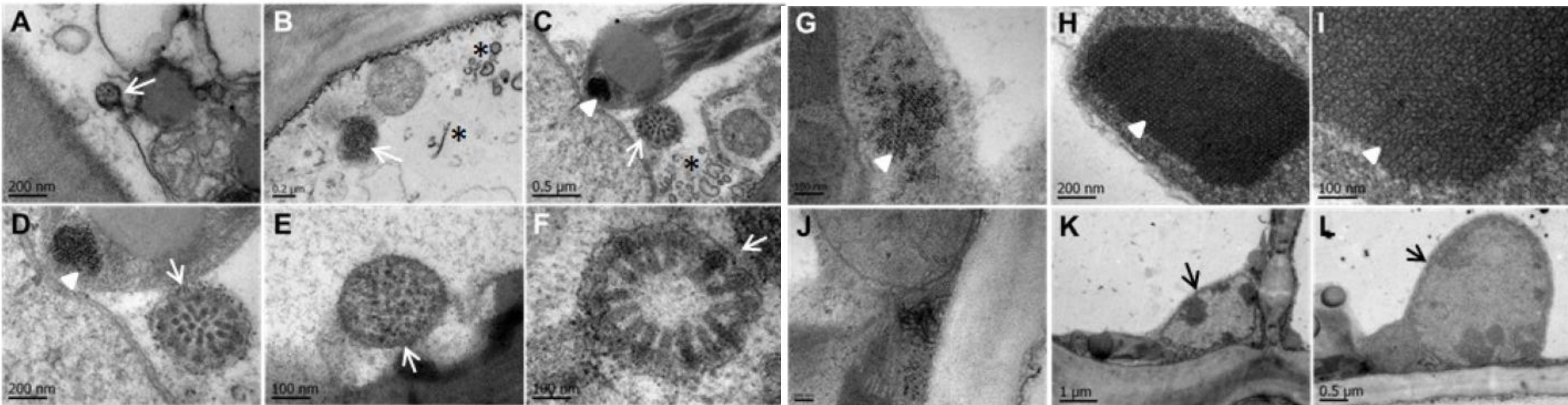
RNA Polimerasa RNA-dependiente



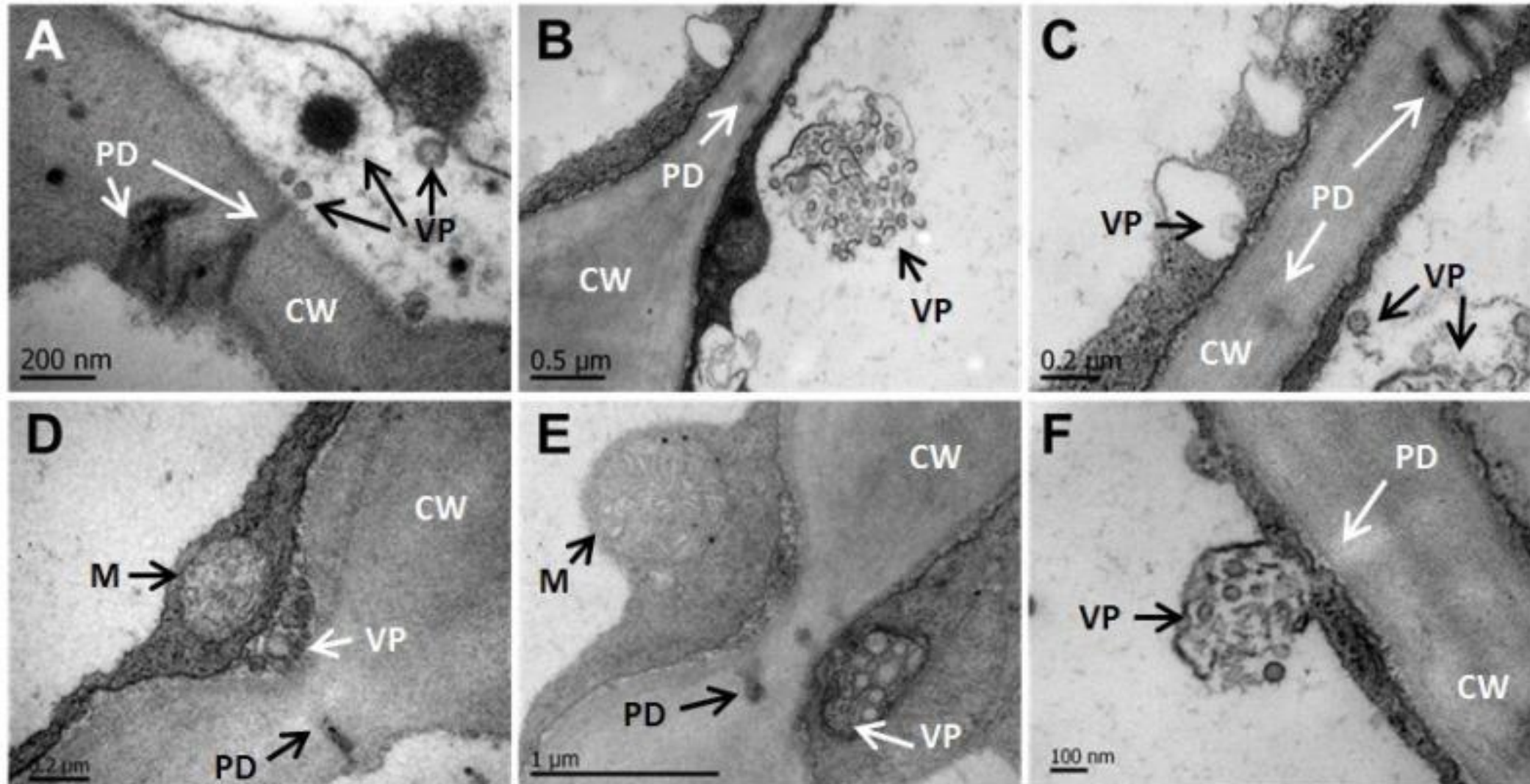


Cinvestav

Los viriones están en el citoplasma de células infectadas



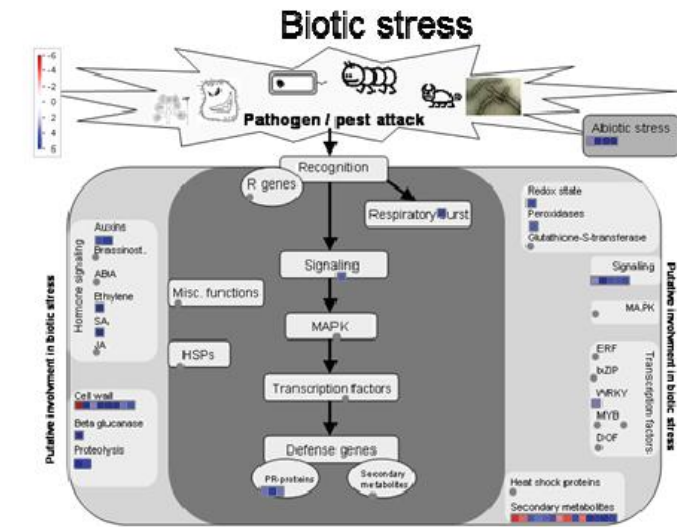
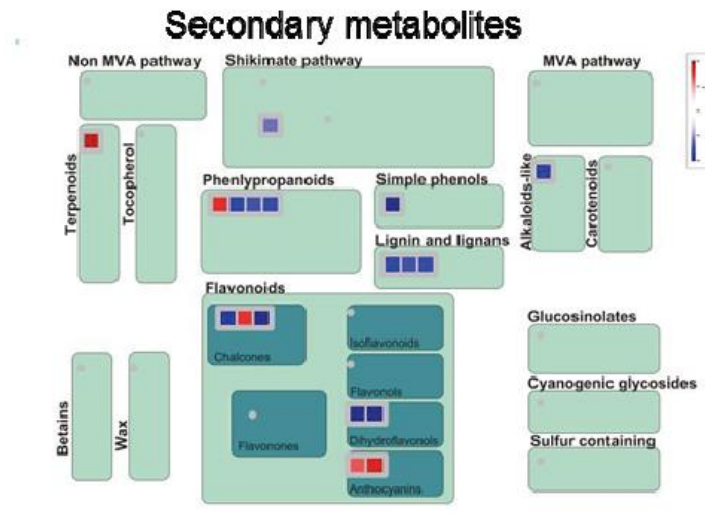
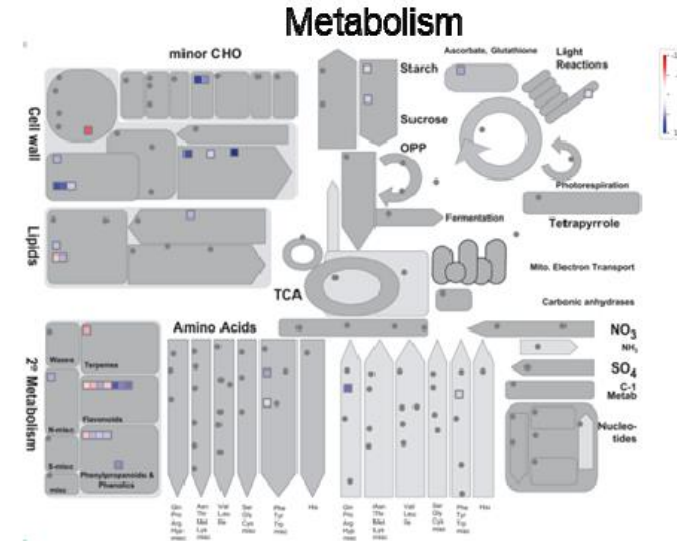
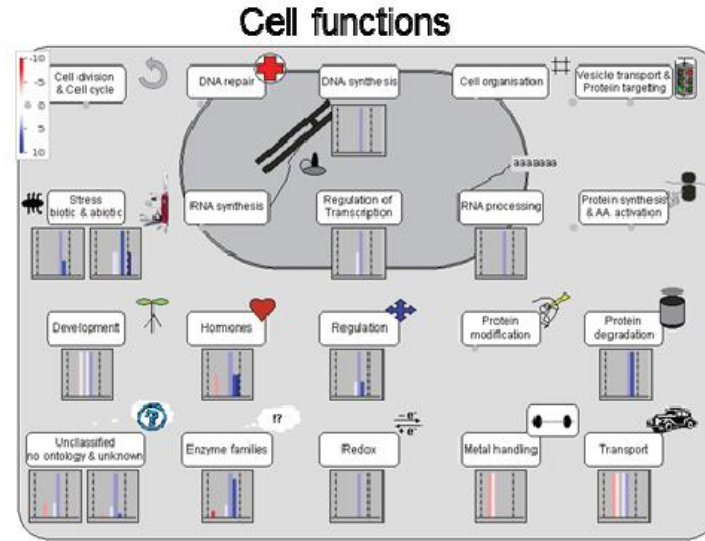
CNSV interactúa con plasmodesmos



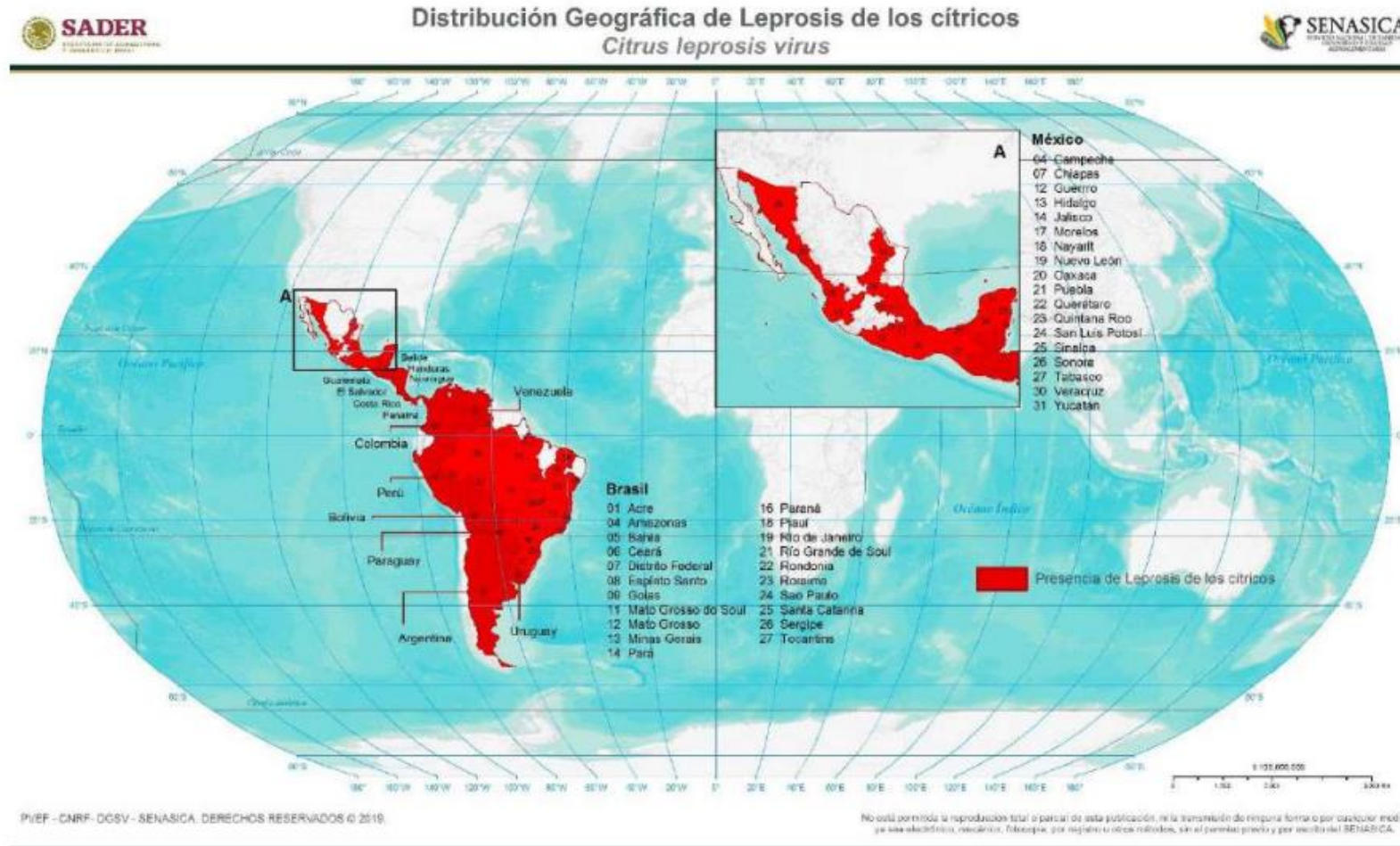


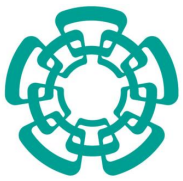
Cinvestav

CNSV induce la síntesis de metabolitos secundarios



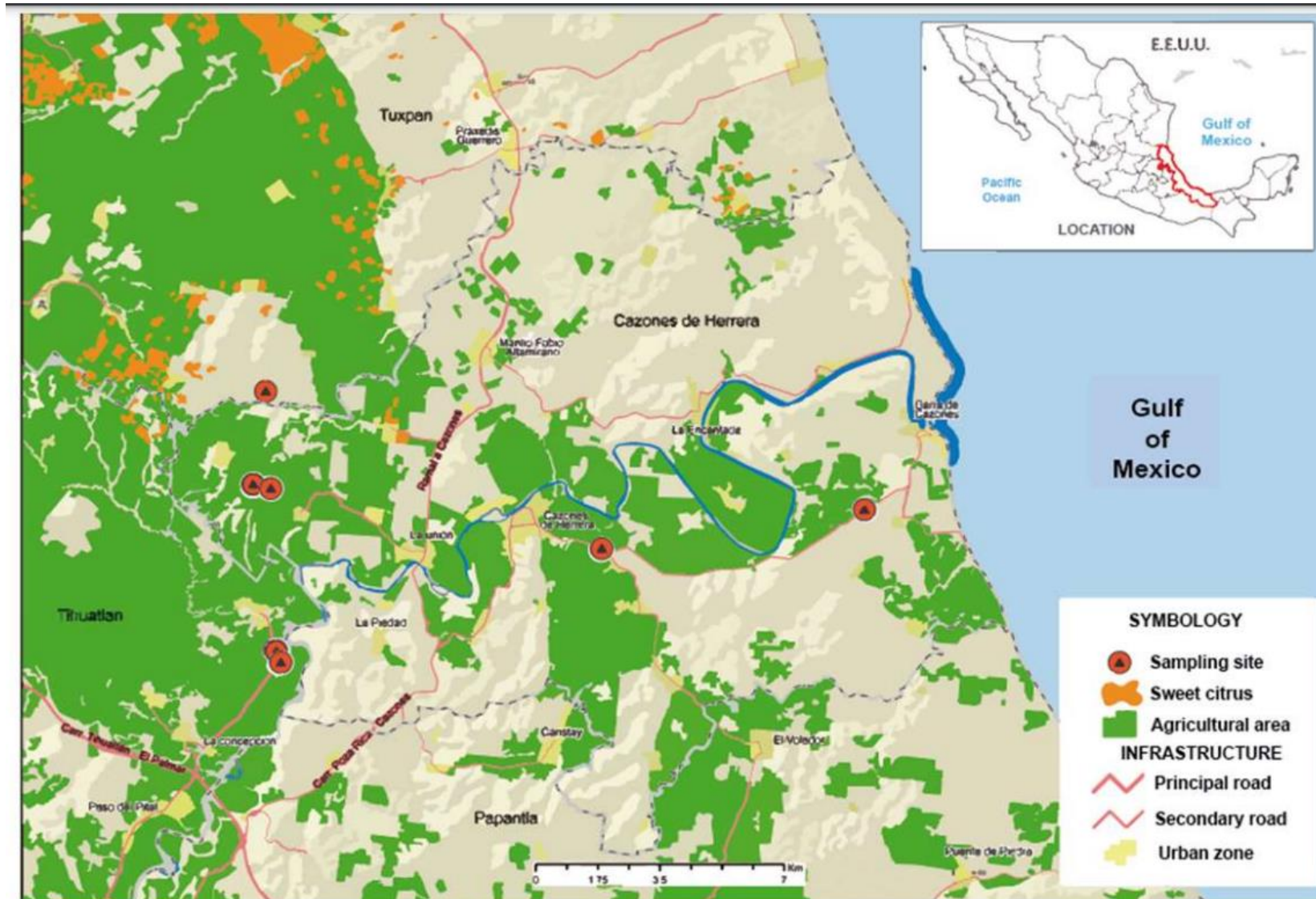
SENASICA monitorea al vector y plantas sintomáticas





Cinvestav

Virus de la Tristeza de los cítricos



Ramírez-Pool et al., 2021, 2022.

Naranja dulce infectada con CTV en Veracruz, México.

CTV atenuada

CTV severa



Filogenia de aislados de CTV basados en CP

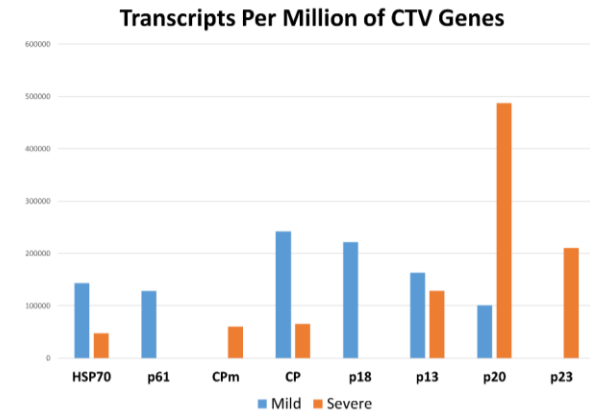
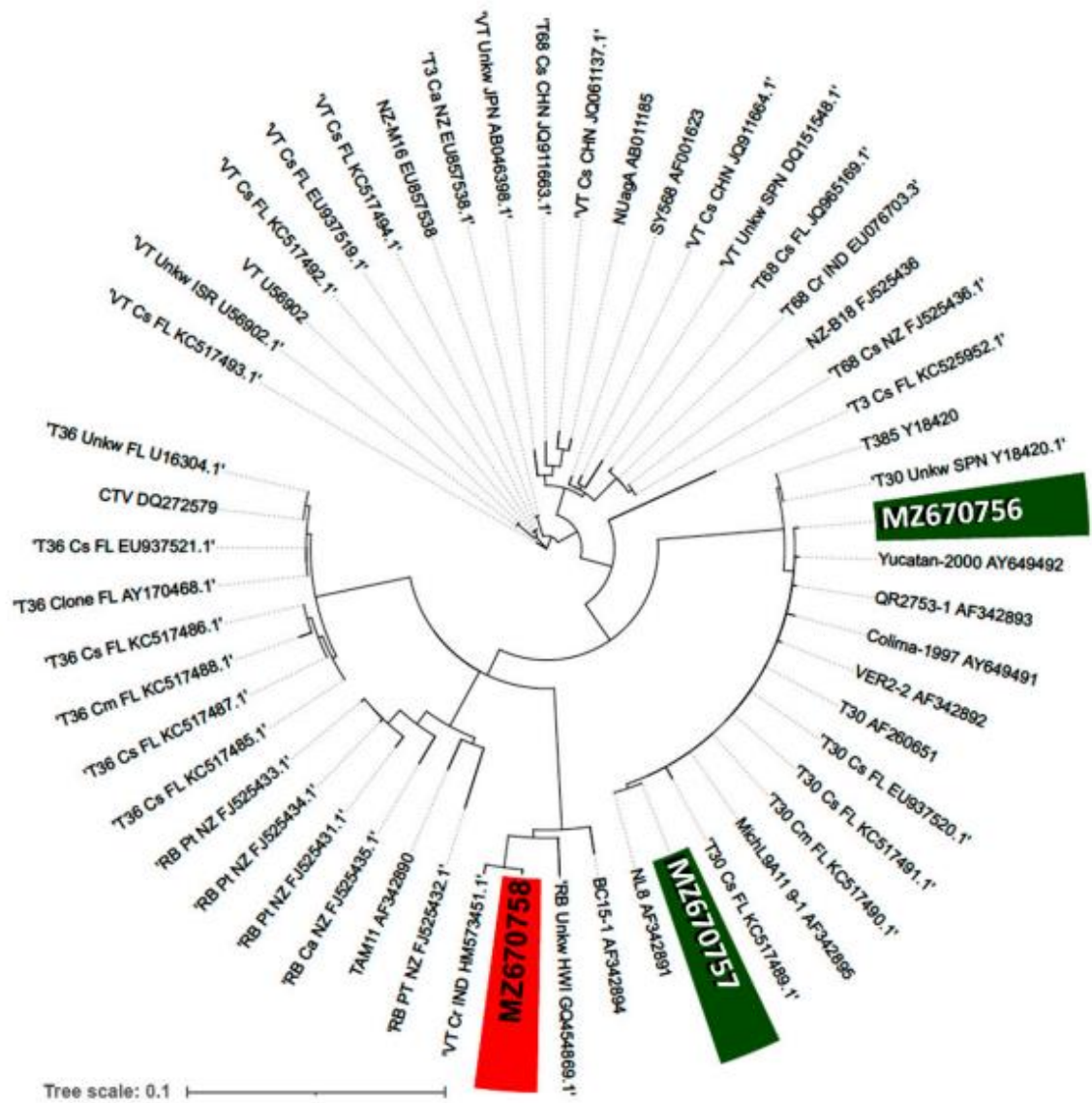
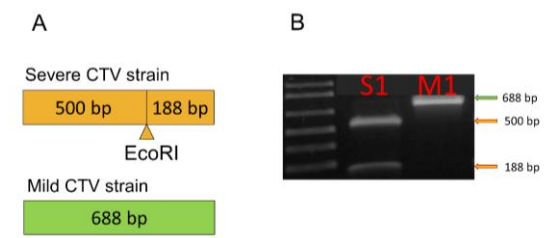
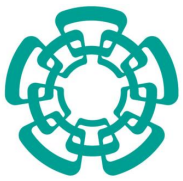


Figure S5. Comparison of viral ORF transcripts per million reads obtained in plants infected with either mild (blue) or severe (orange) CTV strains. Gene description: HSP70H, Hsp70-homolog; p61, 61-kDa protein; CPM, minor capsid protein; CP, major capsid protein; p18, 18-kDa protein; p13, 13-kDa protein; p20, 20-kDa protein/RNA silencing suppressor; p23, RNA silencing suppressor.

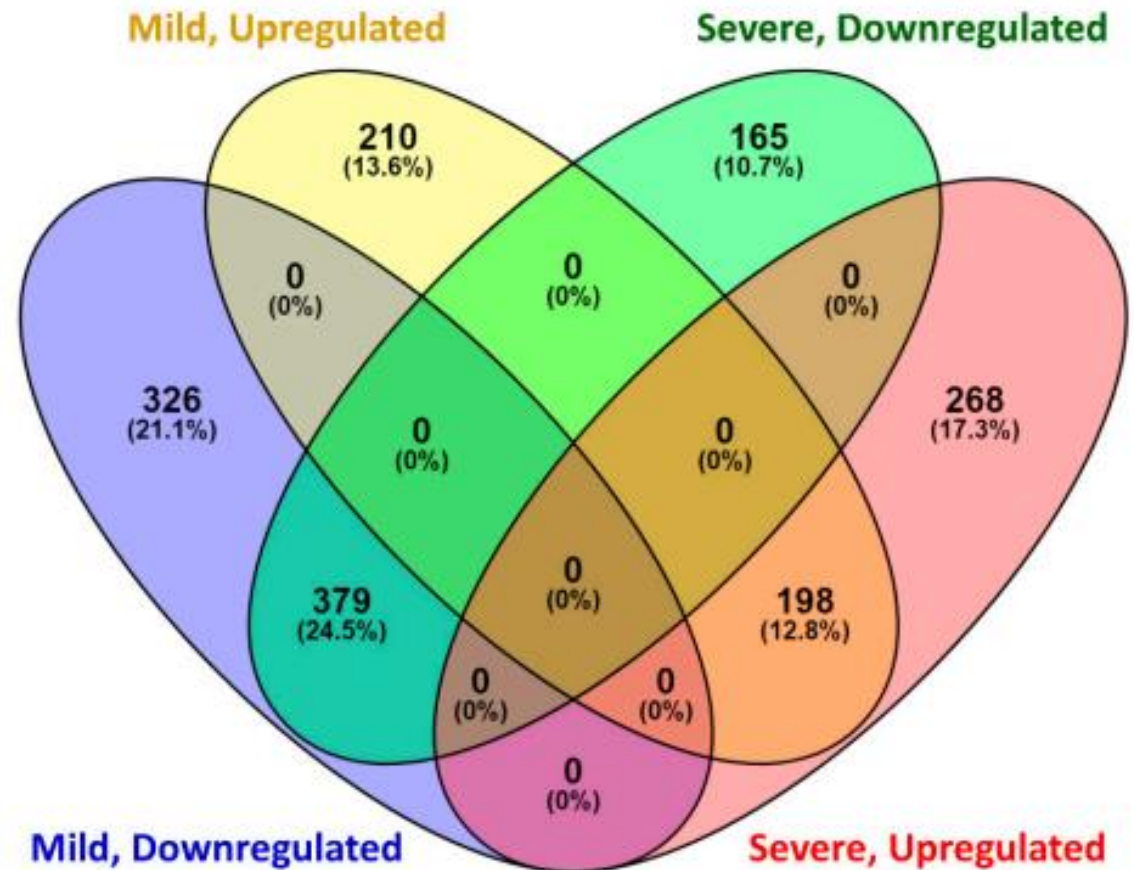
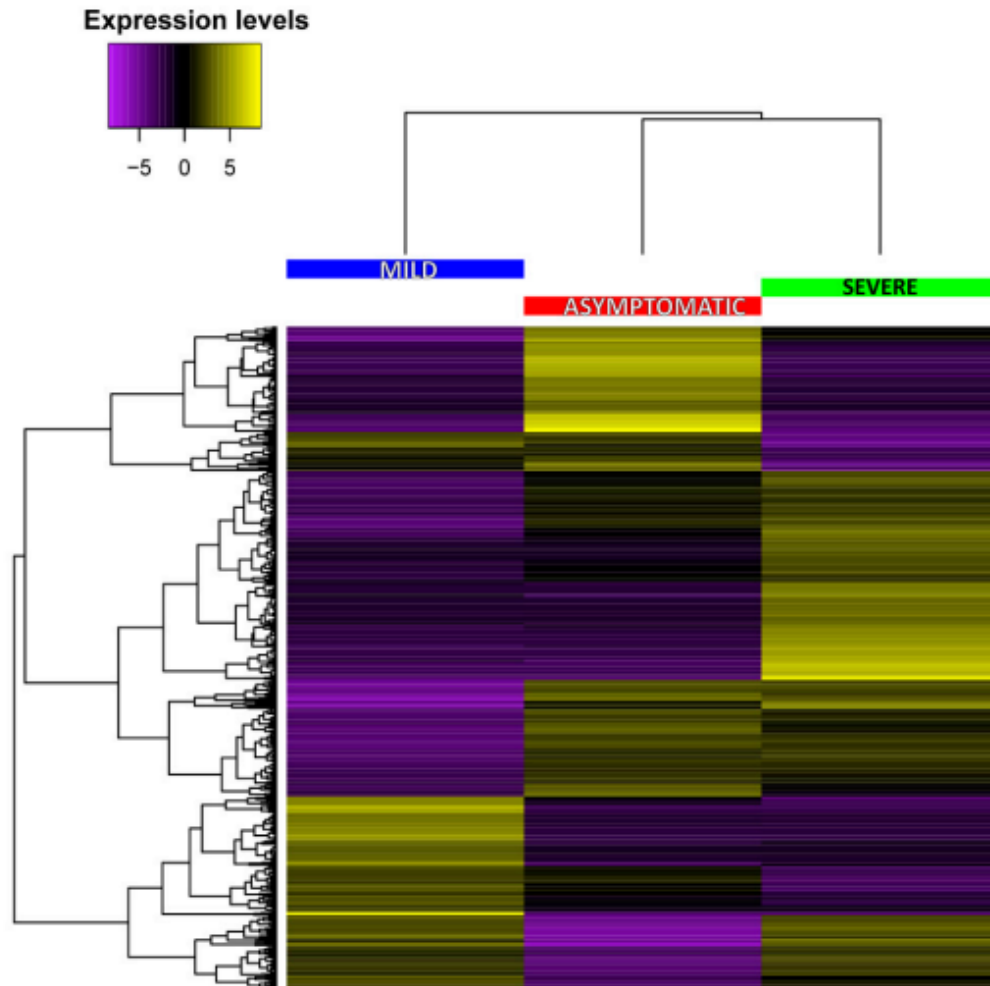


Identification of severe or mild CTV strain by digestion with EcoRI restriction enzyme.



Cinvestav

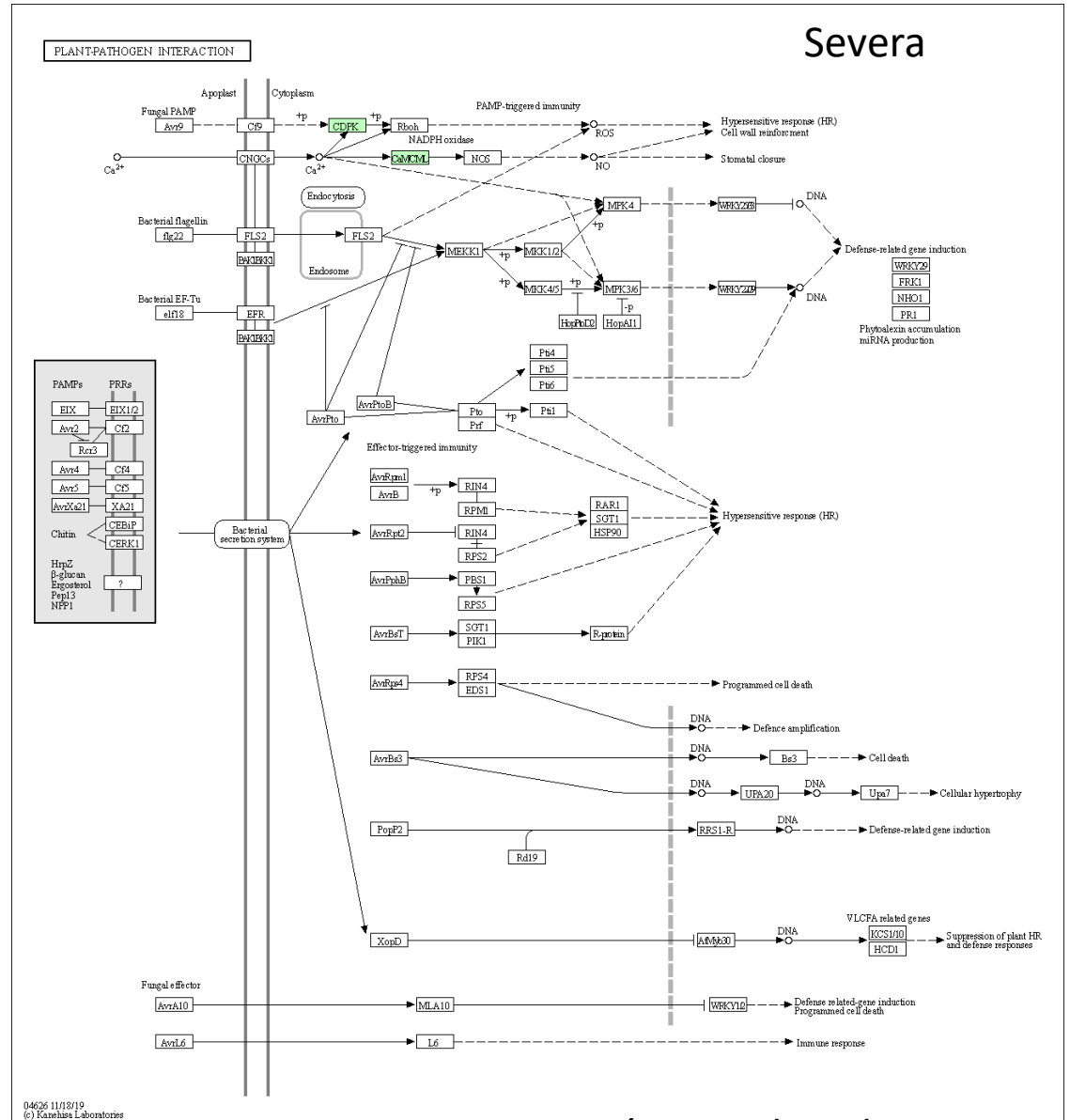
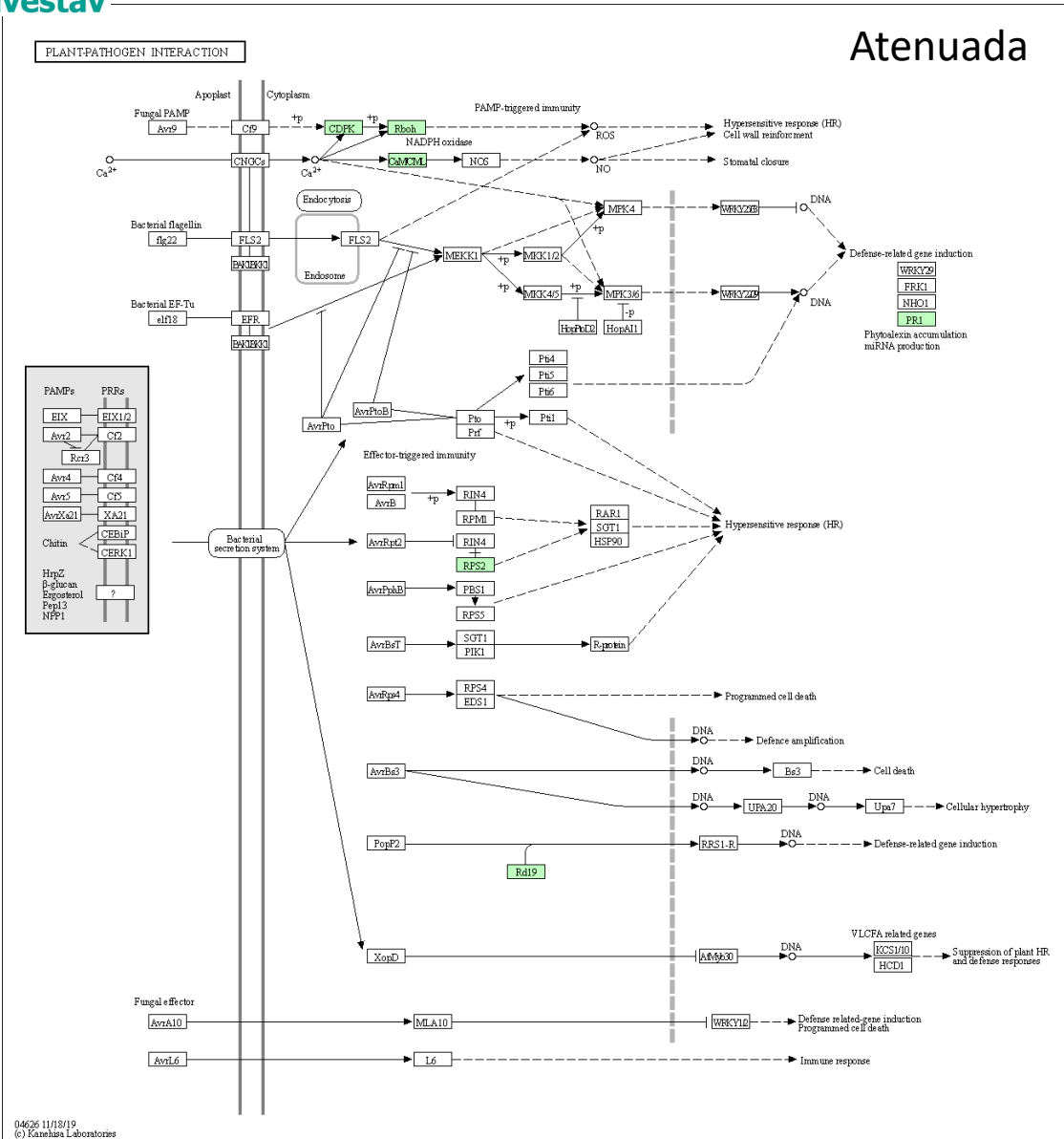
Expresión de genes en *C. sinensis* con CTV





Cinvestav

Transcritos sobreregulados en la interacción planta-patógeno



Annotation was calculated with KEGG Blast Koala

Ramírez-Pool et al., 2021, 2022.

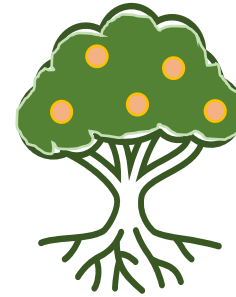
Presencia de los viroides Exocortis y Hop stunt

Table 1. Number of reads of *Citrus exocortis viroid* and *Hop stunt viroid* in asymptomatic and CTV-infected orange trees.

Condition	TPM *	FPKM **
<i>Citrus exocortis viroid</i>		
Asymptomatic	1,000,000	4,528,301.89
CTV severe isolate	1,000,000	4,244,325.52
CTV mild isolate	0	0
<i>Hop stunt viroid</i>		
Asymptomatic	1,000,000	5,813,953.49
CTV severe isolate	1,000,000	5,639,097.74
CTV mild isolate	0	0

* The normalized expression profile is shown as TPM (transcripts per million). ** FPKM: fragments per kilobases of contigs per million mapped reads.

Asymptomatic



CEVd

HSVd

Severe

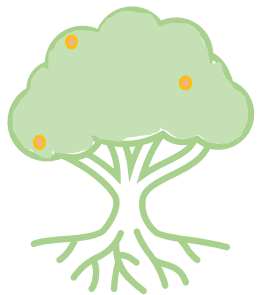


CTV severe

CEVd

HSVd

Mild



CTV mild

**Cítricos produciendo
antimicrobianos para
mitigar HLB**



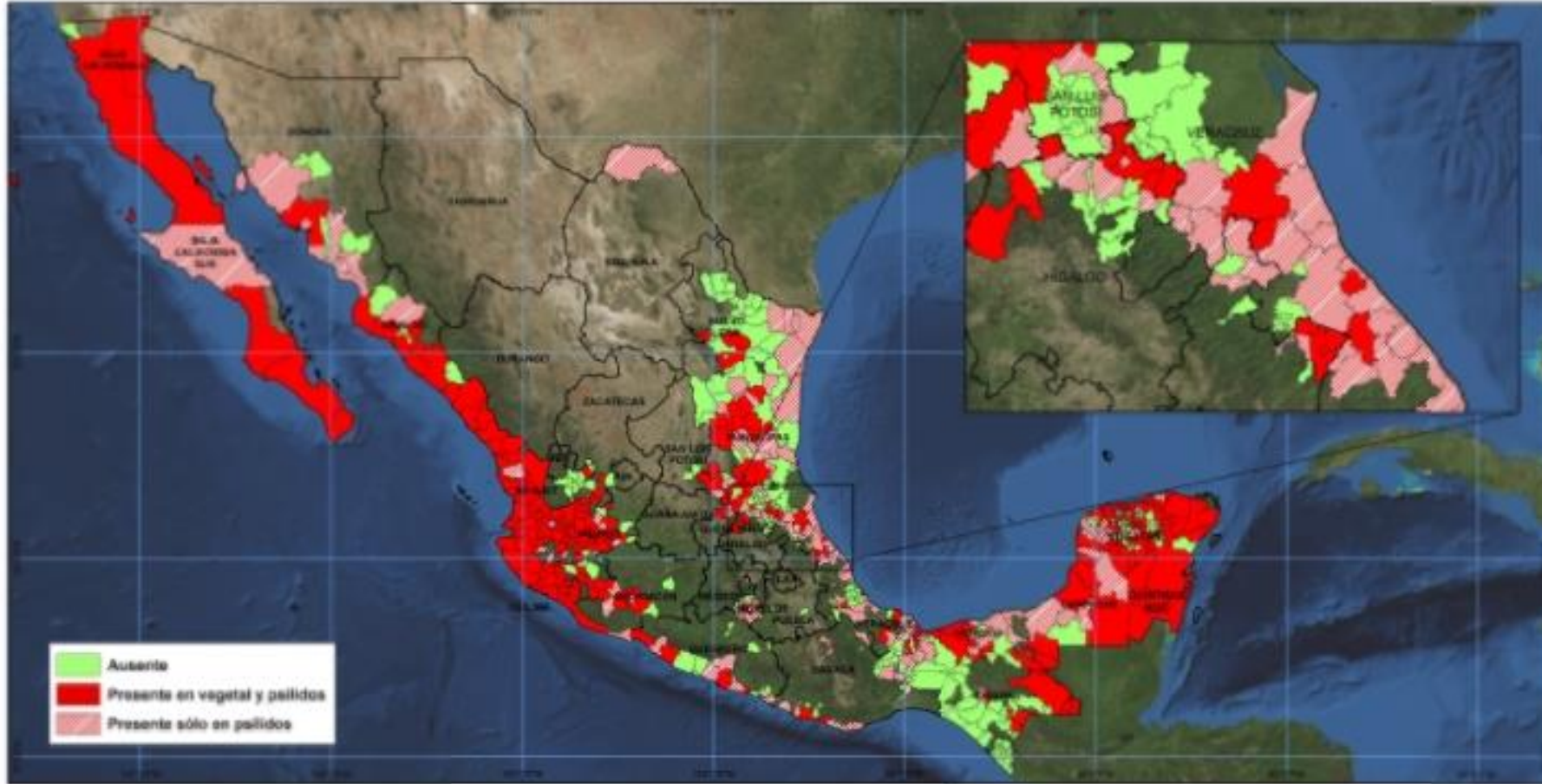


Cinvestav

HLB



Condición fitosanitaria en México de las detecciones de *Candidatus Liberibacter asiaticus* con base en el monitoreo a nivel municipal acumulado al mes de Marzo del 2018.



CIQVIA - CIQVIA - IPRES. DETECCIÓN FITOSANITARIA Y 2018
Fecha de actualización: Mayo 2018

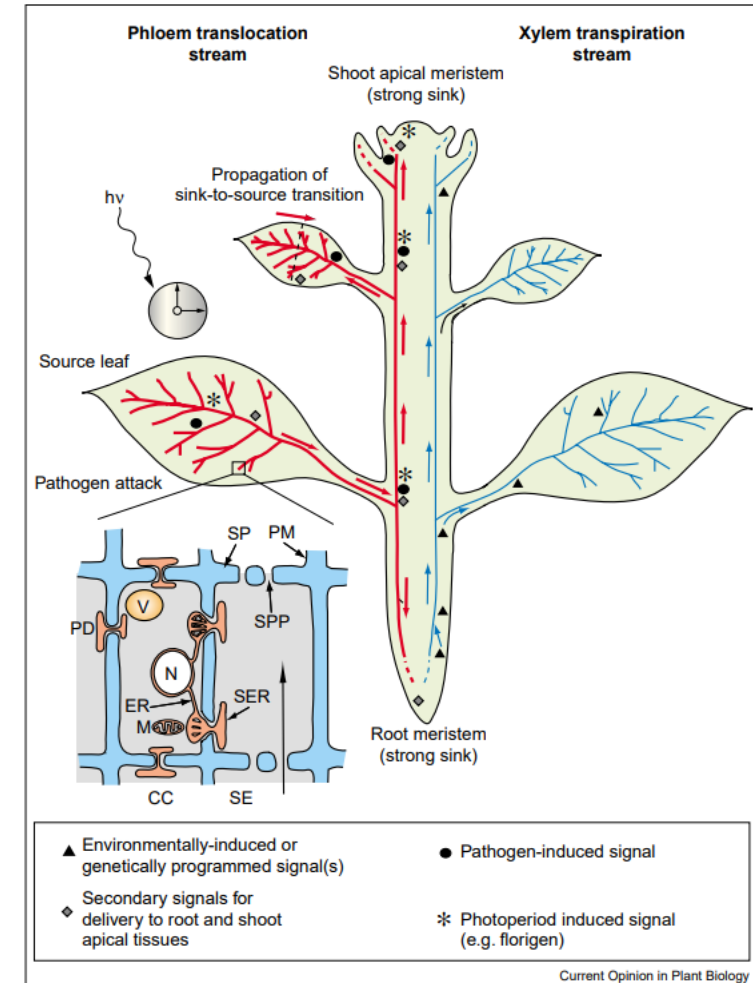
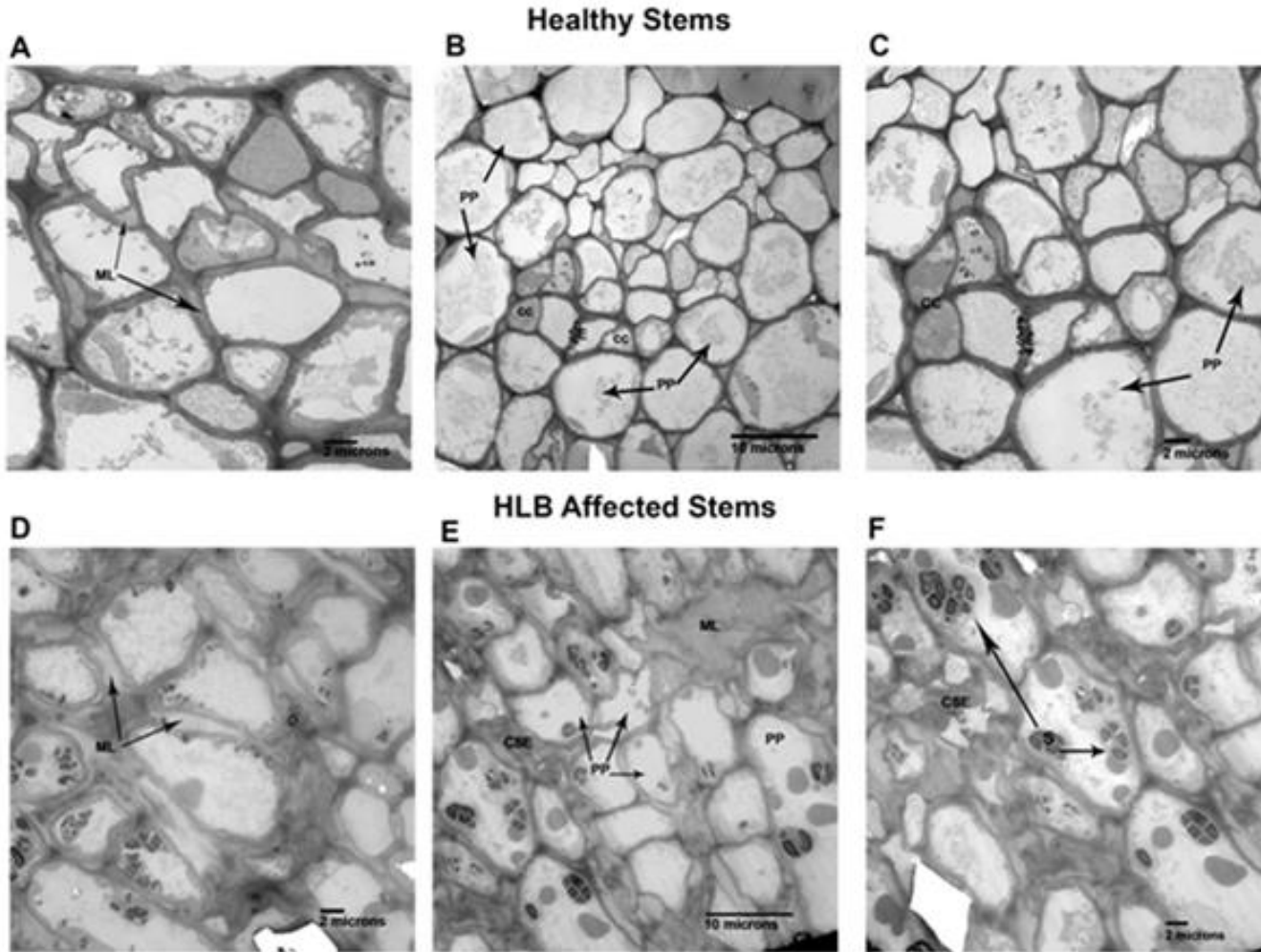


Este mapa fue elaborado con el apoyo de los recursos humanos y financieros de la Secretaría de Agricultura, Ganadería, Desarrollo Rural, Pesca y Alimentación, a través del Sistema Nacional de Diagnóstico e Inspección (SNADI) y el Sistema Nacional de Fitosanidad (SNFI).



Cinvestav

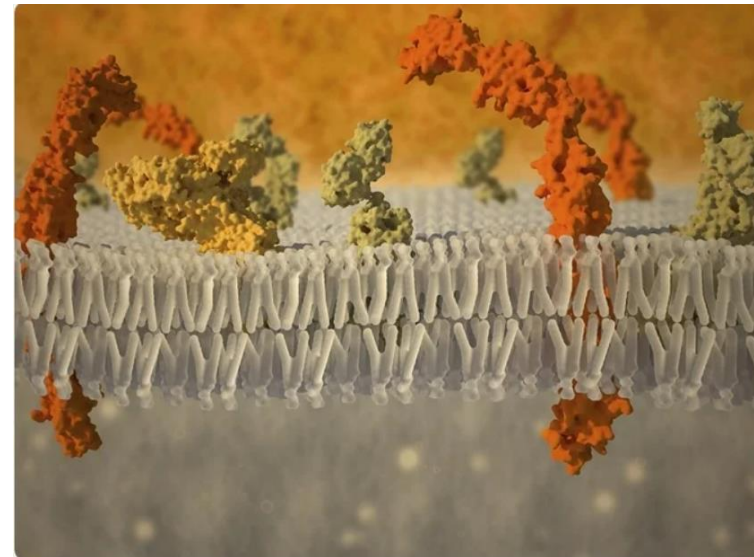
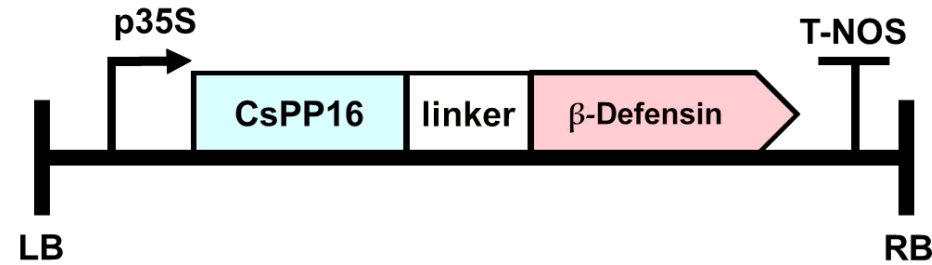
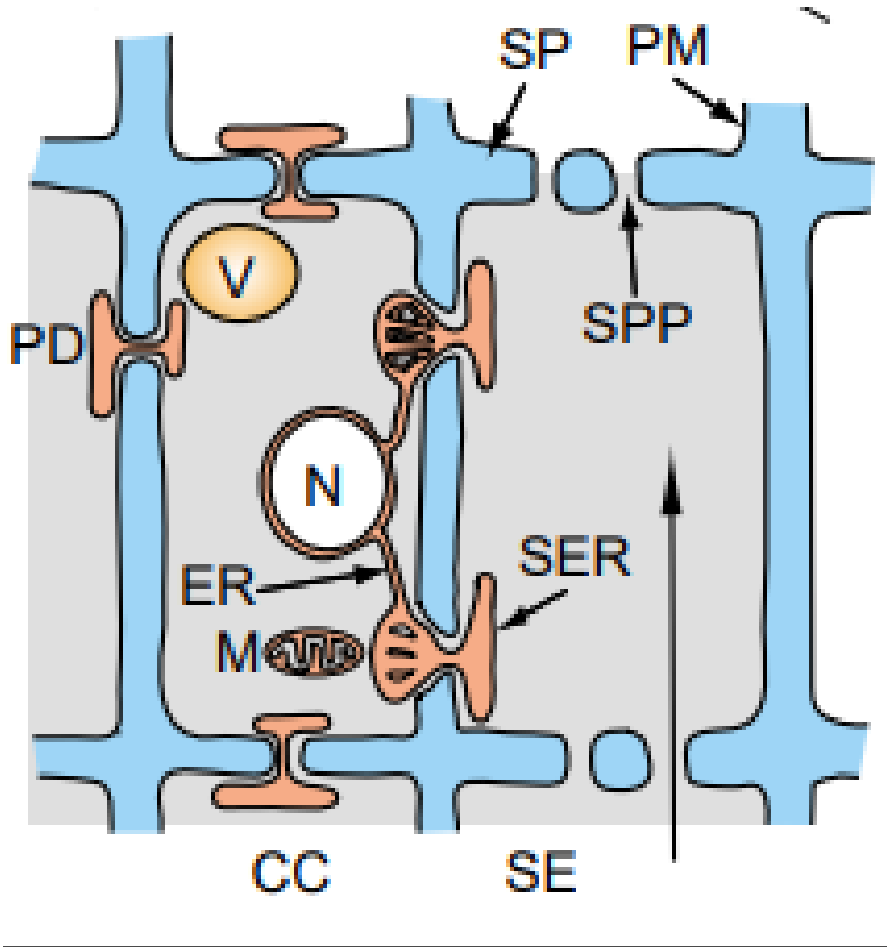
Candidatus Liberibacter asiaticus está en tejido vascular.



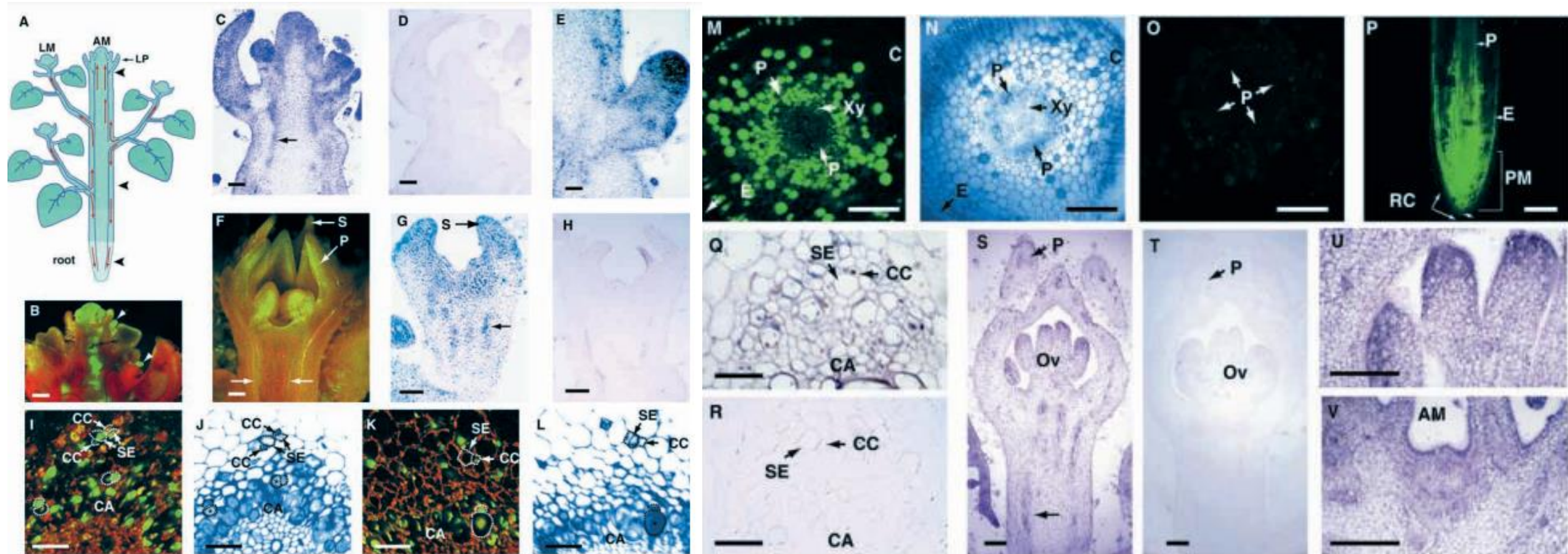
Aritua V, Achor D, Gmitter FG, Albrigo G, Wang N (2013) Transcriptional and Microscopic Analyses of Citrus Stem and Root Responses to *Candidatus Liberibacter asiaticus* Infection. PLOS ONE 8(9): e73742. <https://doi.org/10.1371/journal.pone.0073742>
<https://journals.plos.org/plosone/article?id=10.1371/journal.pone.0073742>

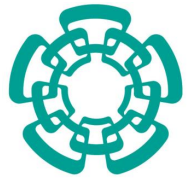
Ruiz-Medrano et al., 2005, 2009, 2015.

AMPs no se detectan en el proteoma de la savia del floema en cucurbitáceas



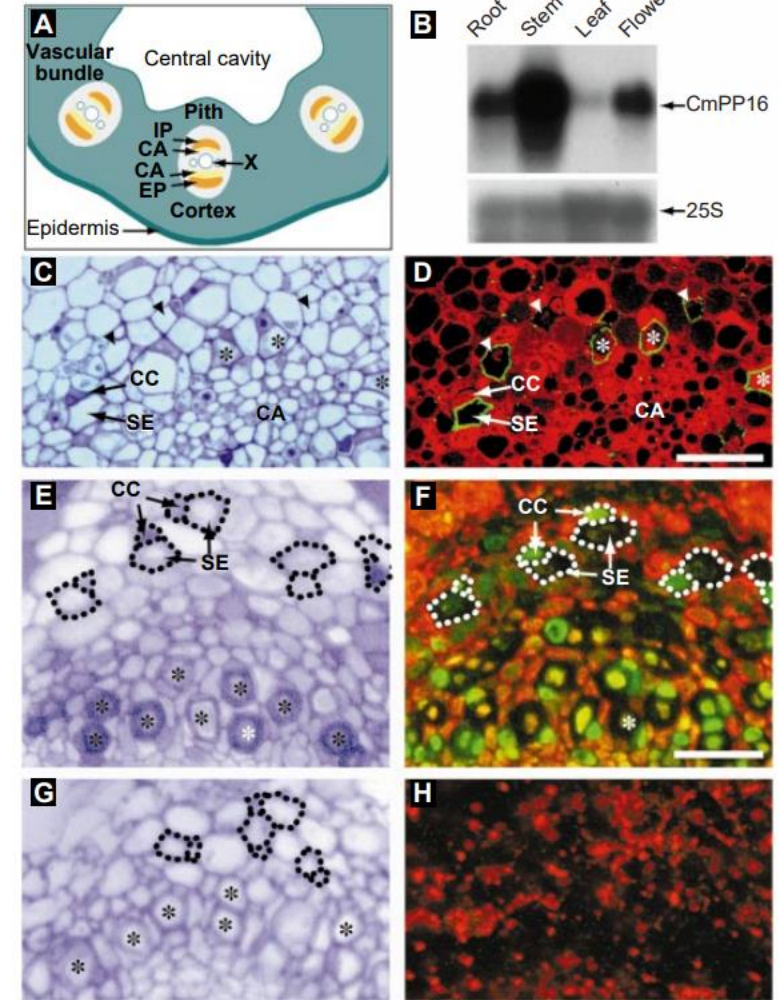
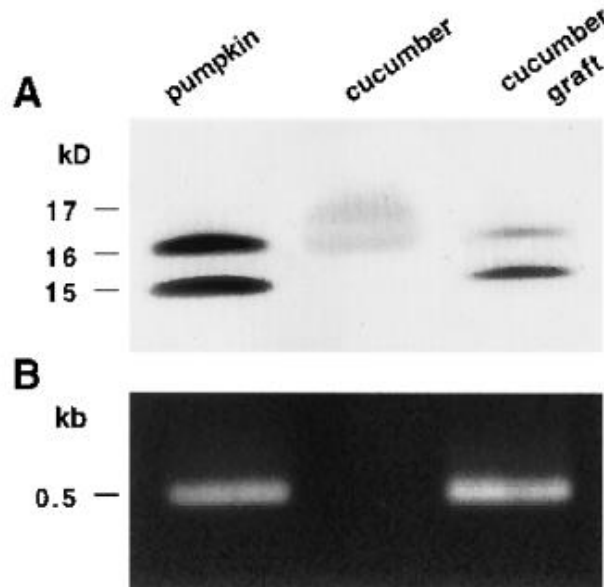
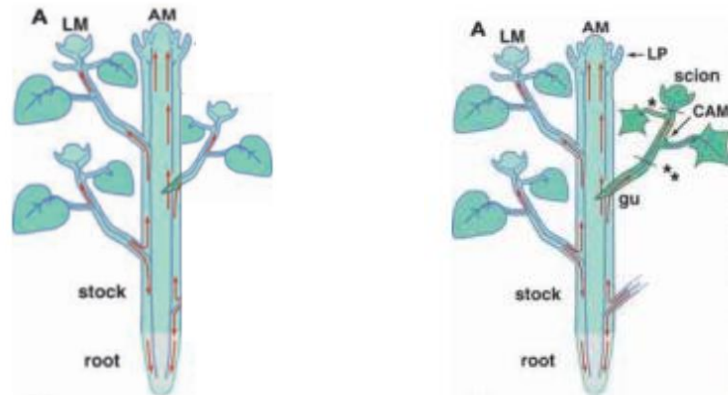
Las proteínas supracelulares viajan a tejidos distantes a cumplir con su función



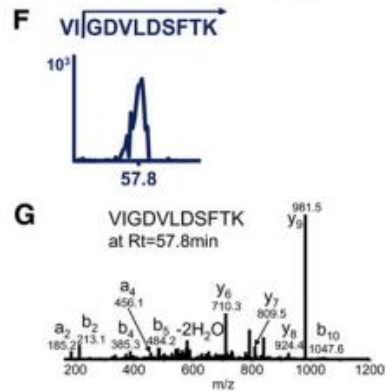
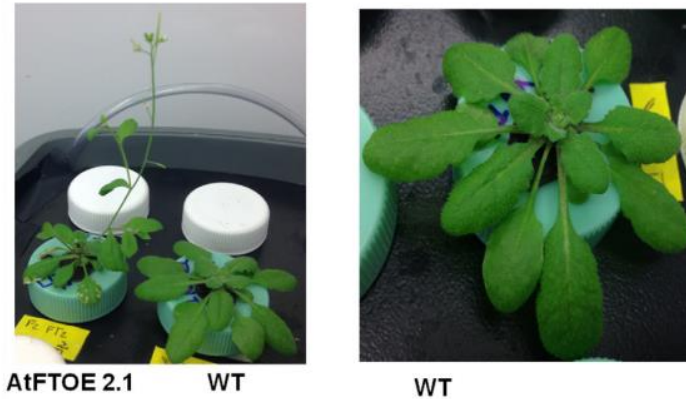
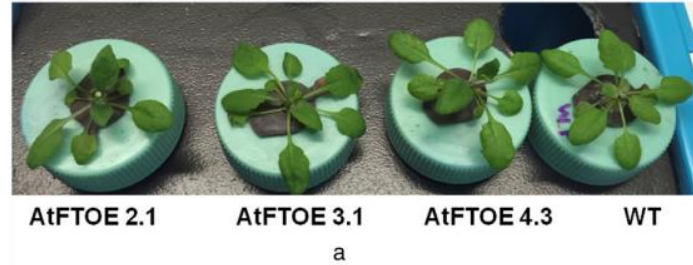
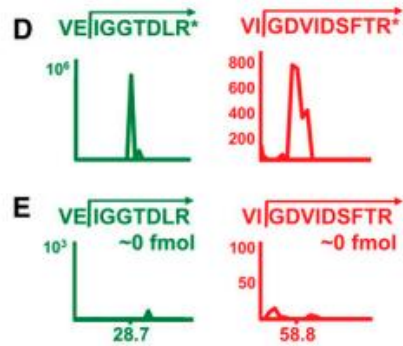
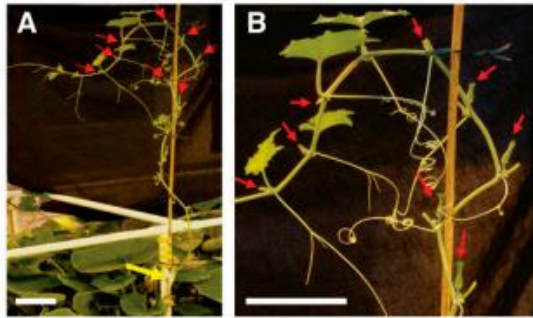


Cinvestav

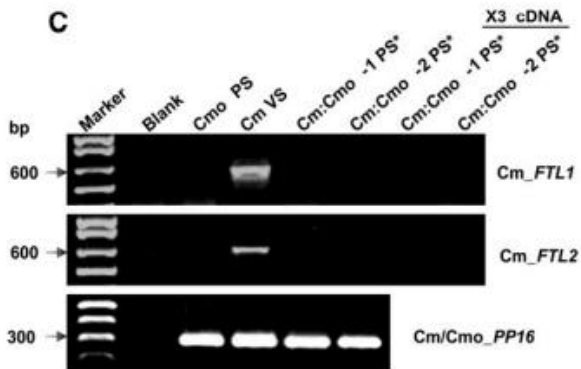
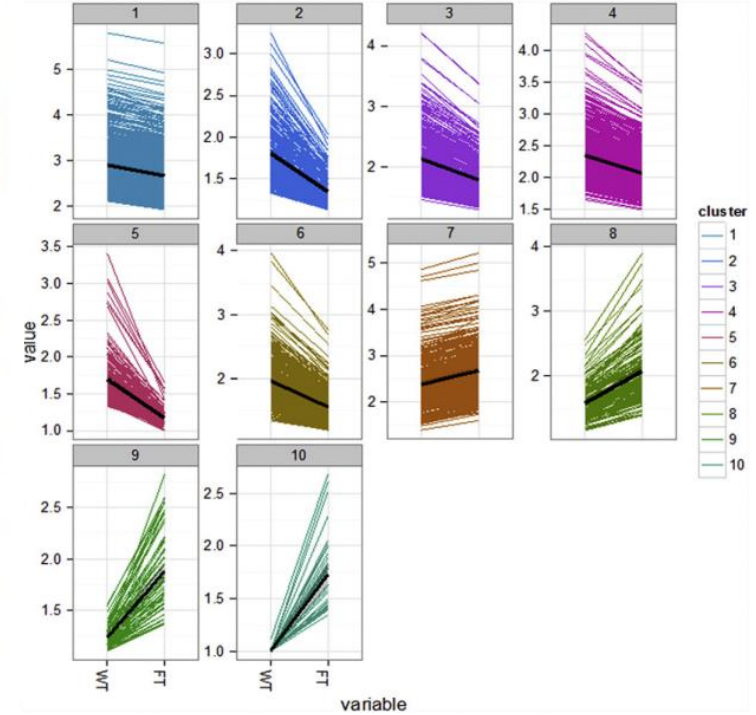
CmPP16 es una proteína supracelular en la savia del floema



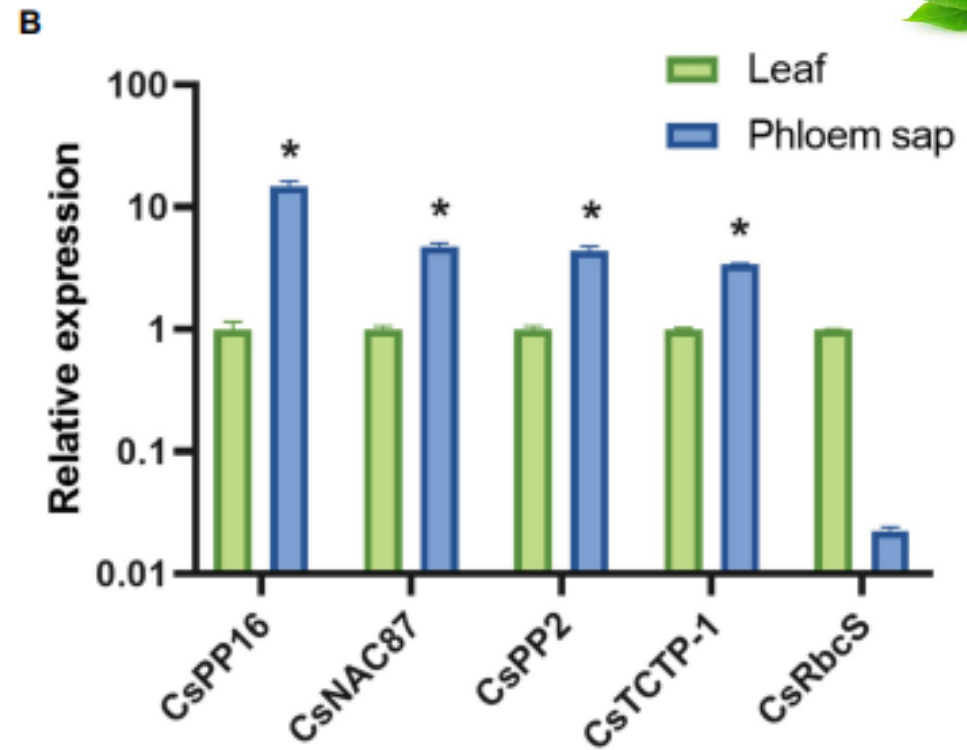
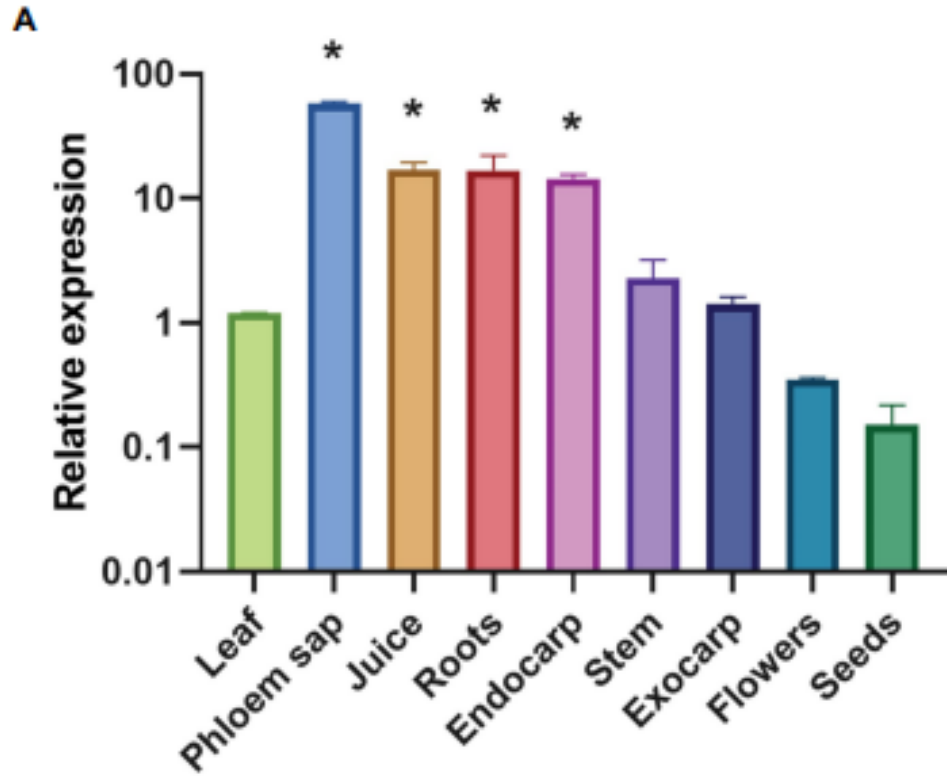
Otras proteínas supracelulares inducen floración



L. Duplat-Bermúdez et al. / Gene 587 (2016) 120-131



CsPP16 mRNA se acumulan en la savia del floema

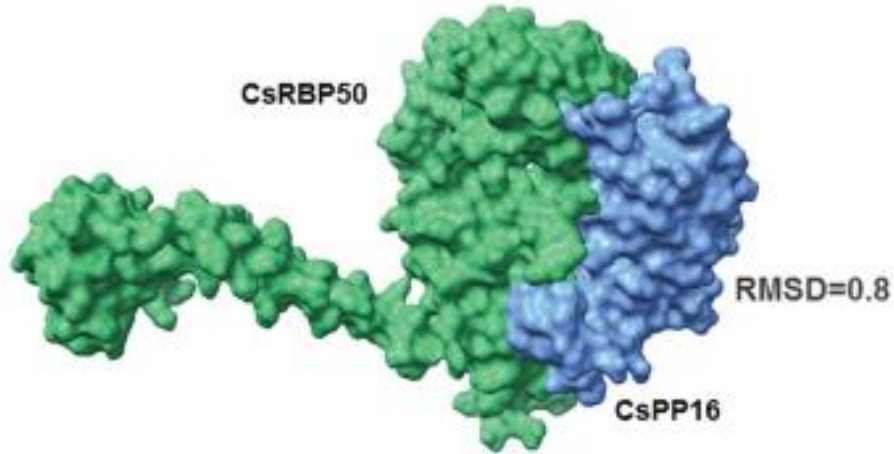




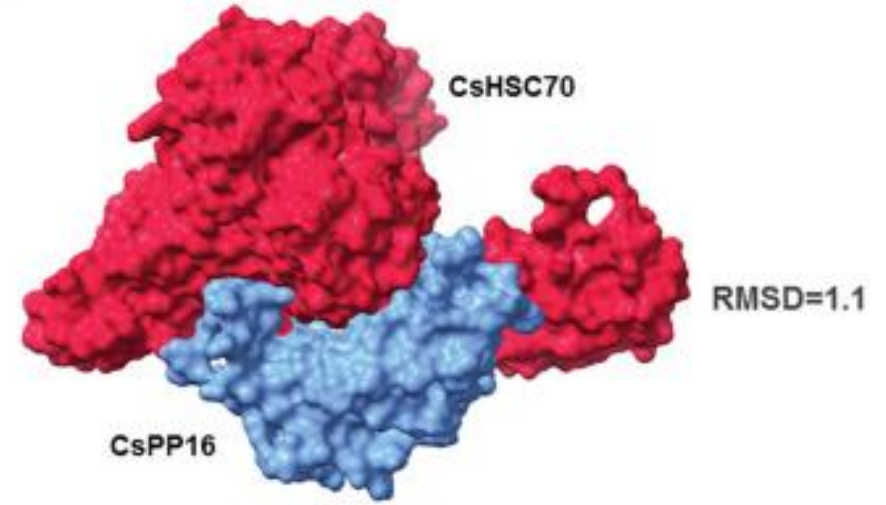
Cinvestav

CsPP16 interactúa con proteínas supracelulares

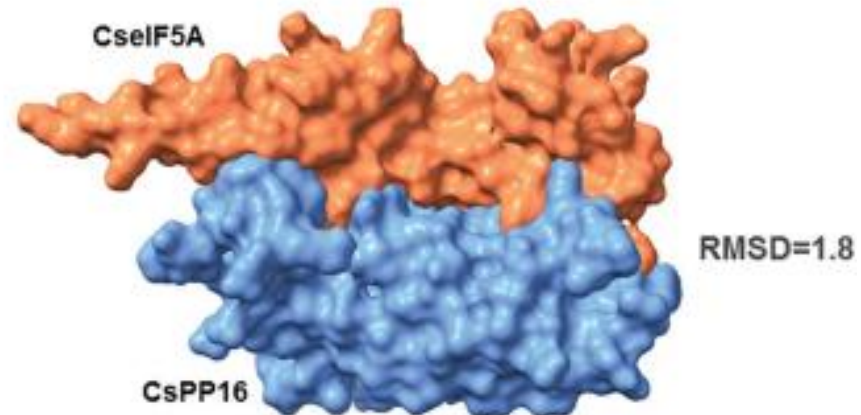
A



B

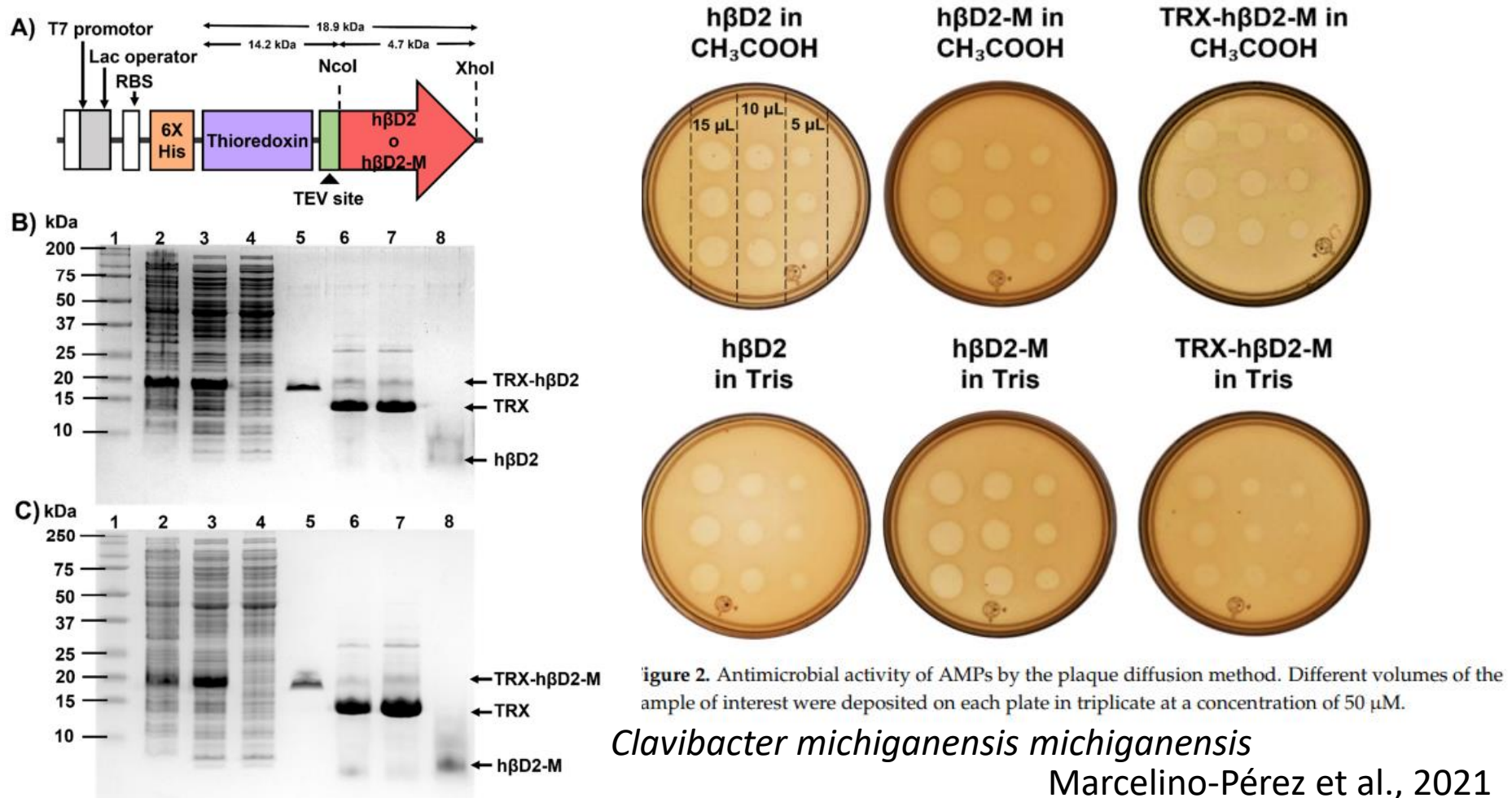


C

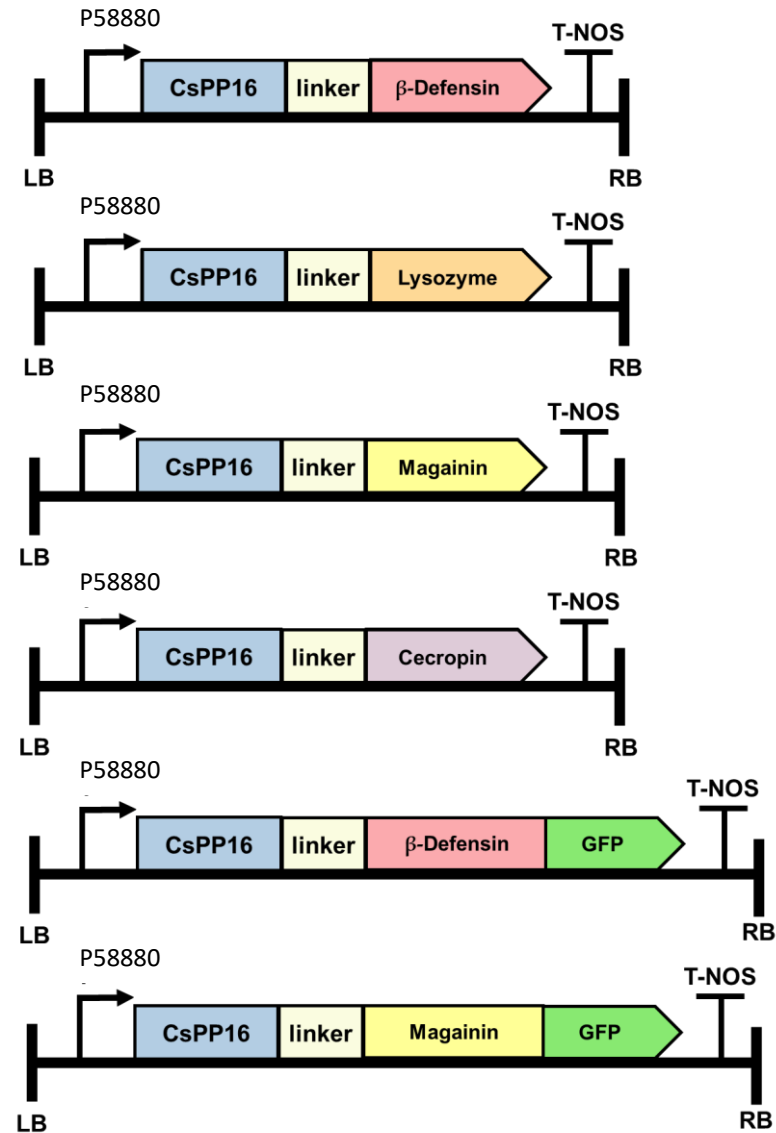
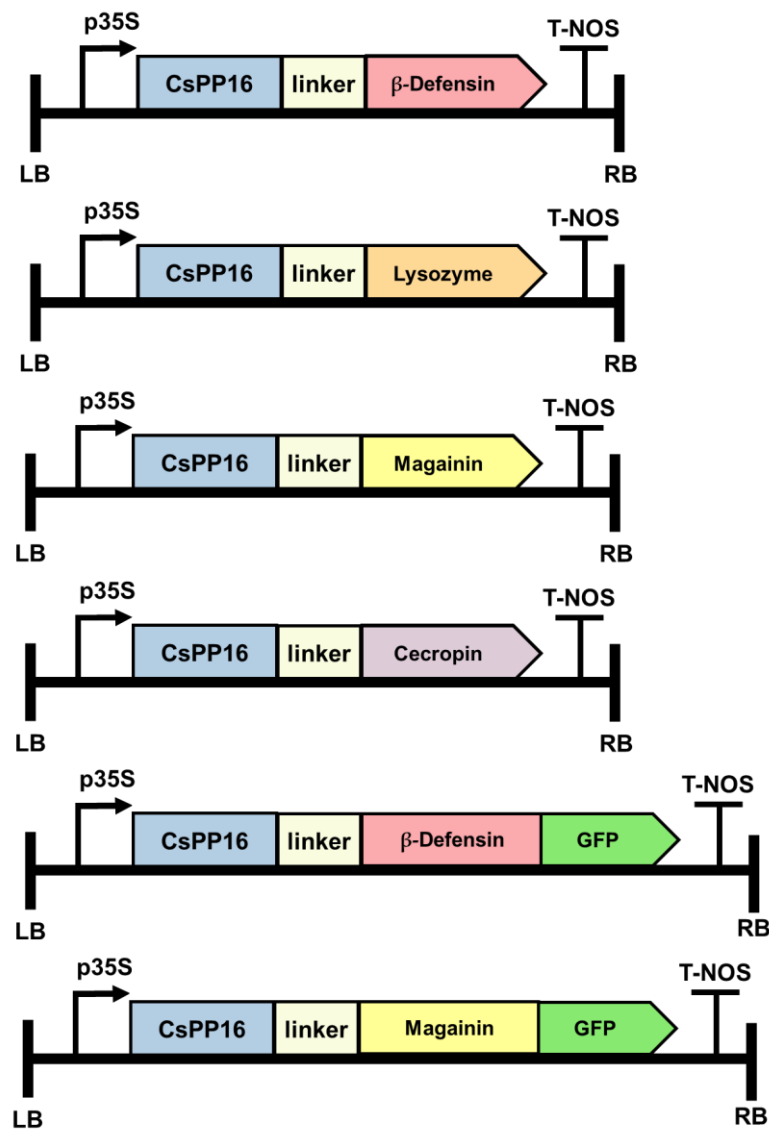


Proteínas antimicrobianas

hβD2, hβD2-M and Trx- hβD2-M

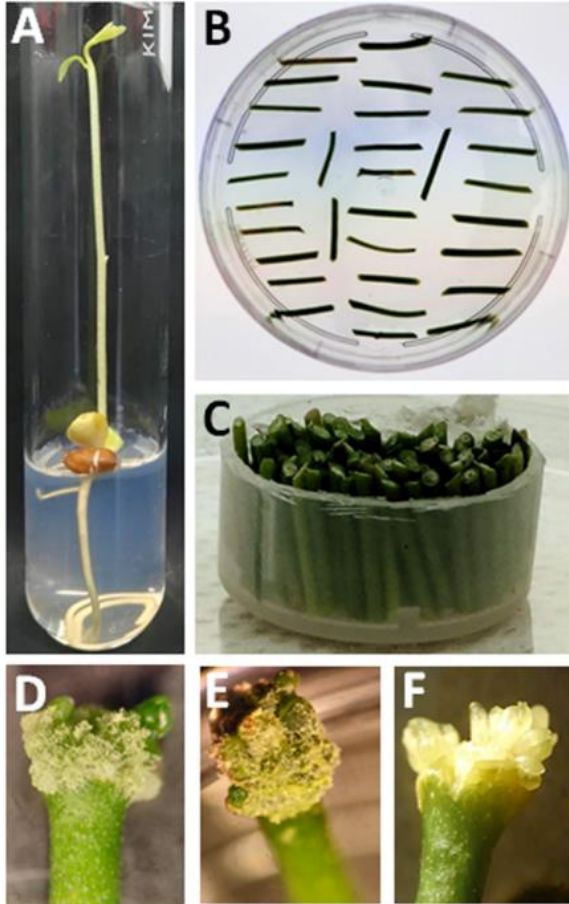


Genes sintéticos para movilizar proteínas al floema

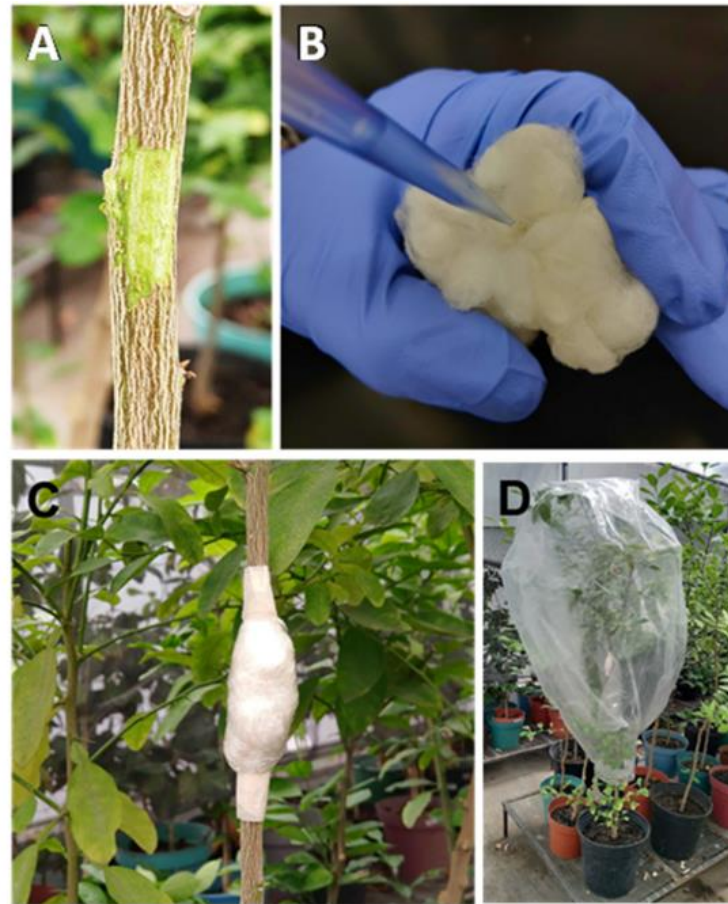


Métodos de transformación de cítricos

Biolistics



Agrobacterium



Pollen magnetofection

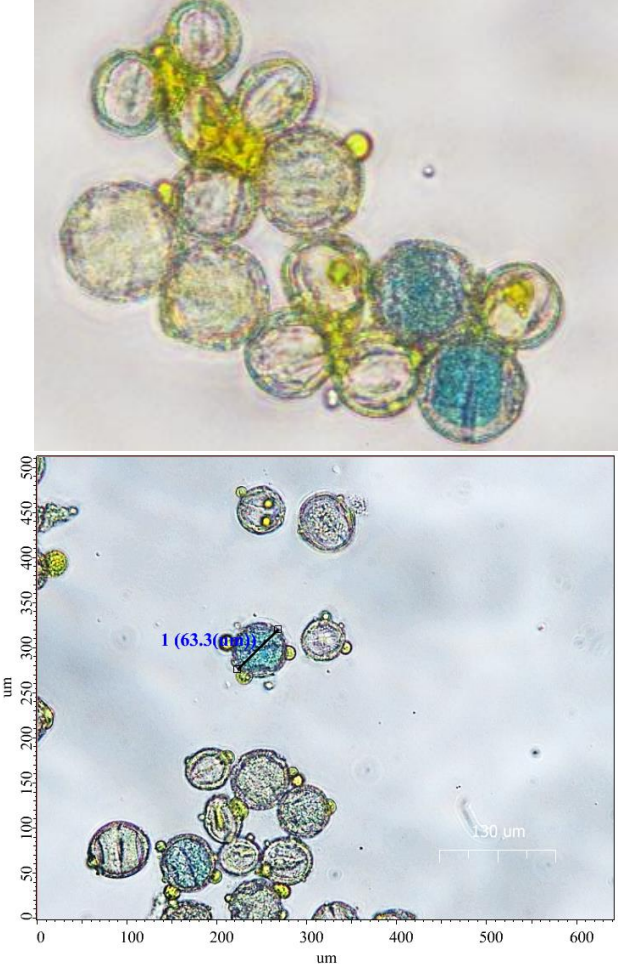
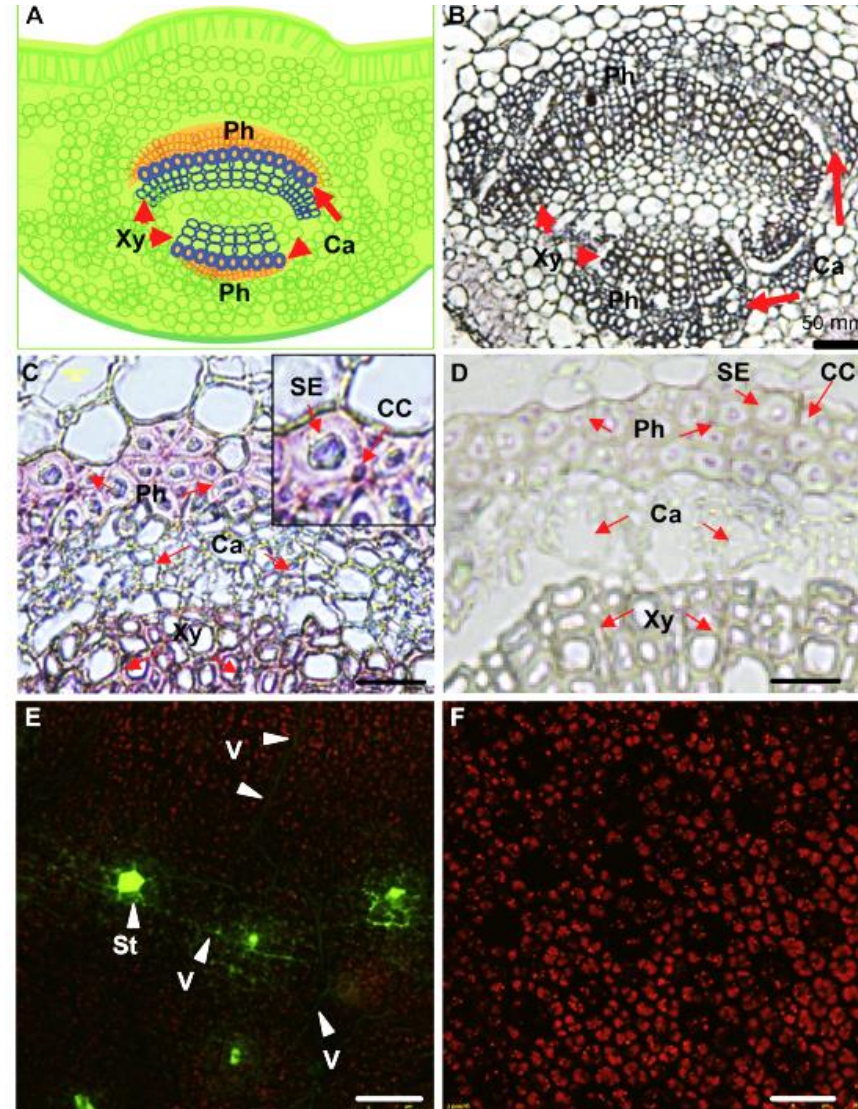
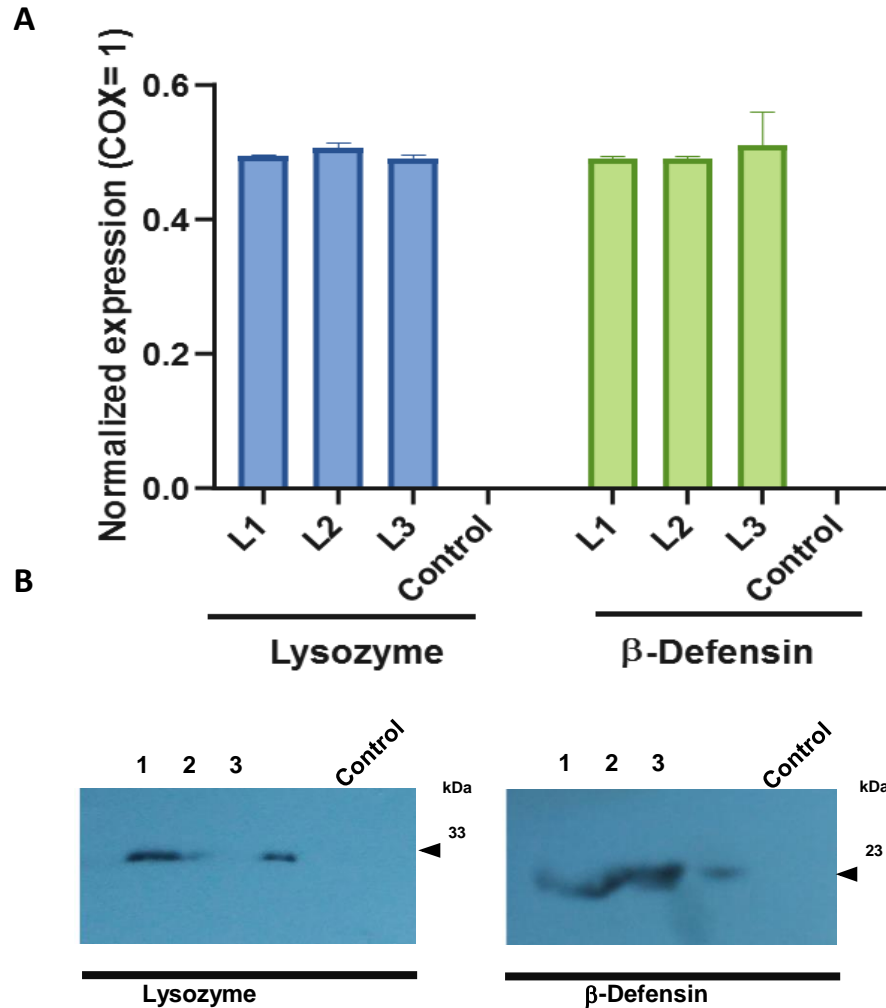


FIGURE 1 | Bombardment and regeneration of Citrus explants. **(A)** Germinated seedlings in vitro; **(B)** Cut of epicotyls. **(C)** Arrangement of explants for bombardment. **(D,E)** Callus in apical regions of the explants produced in the dark after transformation. **(F)** Photosynthetic somatic embryo. **FIGURE 4** | Localized expression procedure. **(A)** Exposure of photosynthetic tissue by scraping made with a scalpel. **(B)** Soaking of a cotton swab with *Agrobacterium* culture. **(C)** Wrapping of plant tissue. **(D)** Treated plant, covered with plastic.

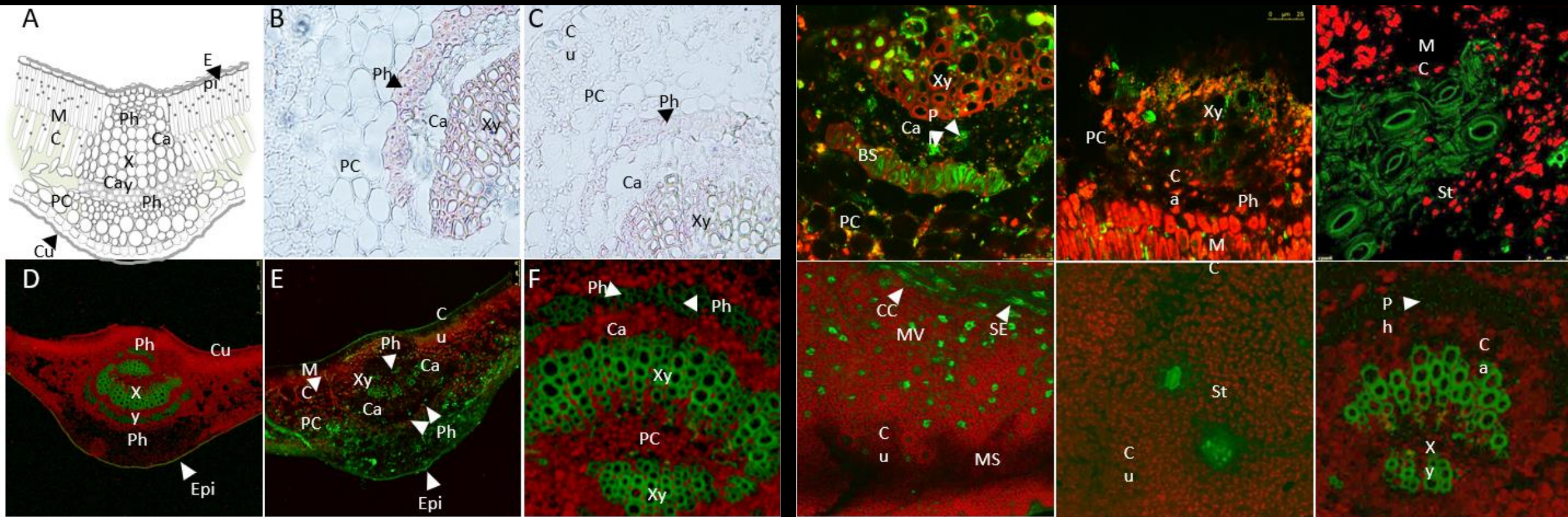


Cinvestav

Detección de transcritos en plantas



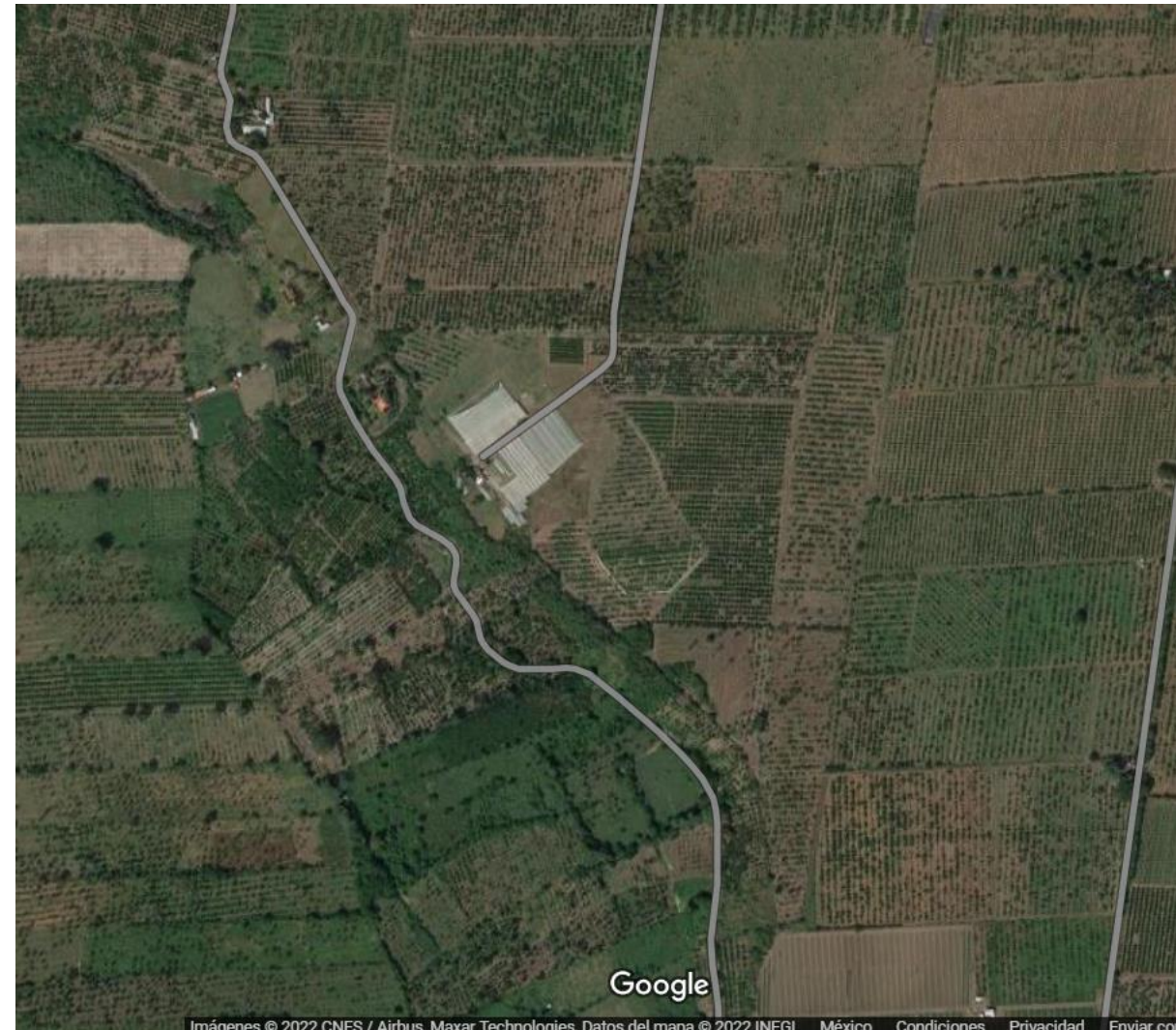
CsPP16-AMP se acumula en tejido vascular





Cinvestav

Ensayos a cielo abierto en Colima



Imágenes © 2022 CNES / Airbus, Maxar Technologies, Datos del mapa © 2022 INEGI México Condiciones Privacidad Enviar con



Guerra-Lupián et al., 2017; Calderón Pérez et al., 2022



Cinvestav

AMPs en nanopartículas de quitosano

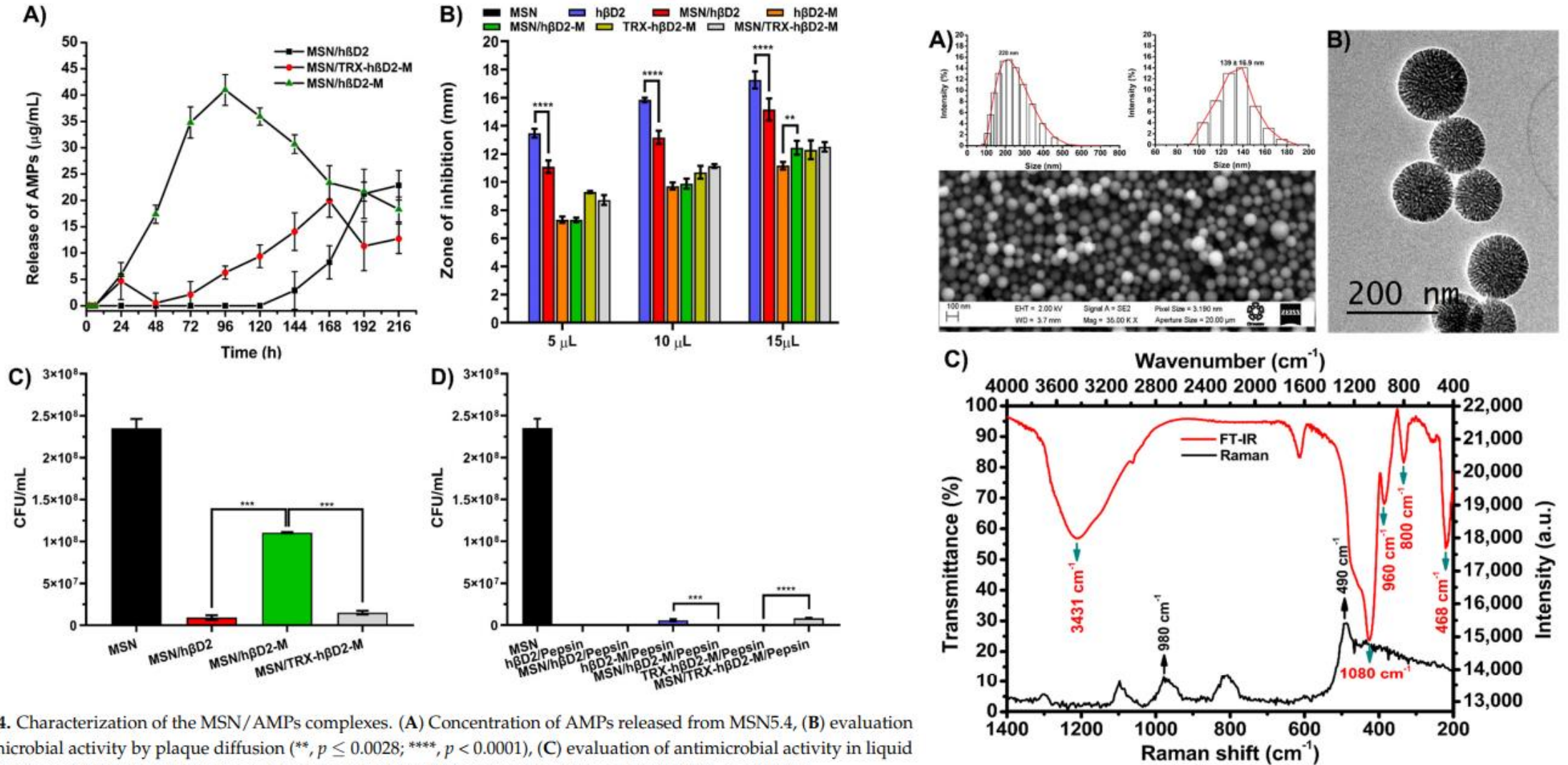
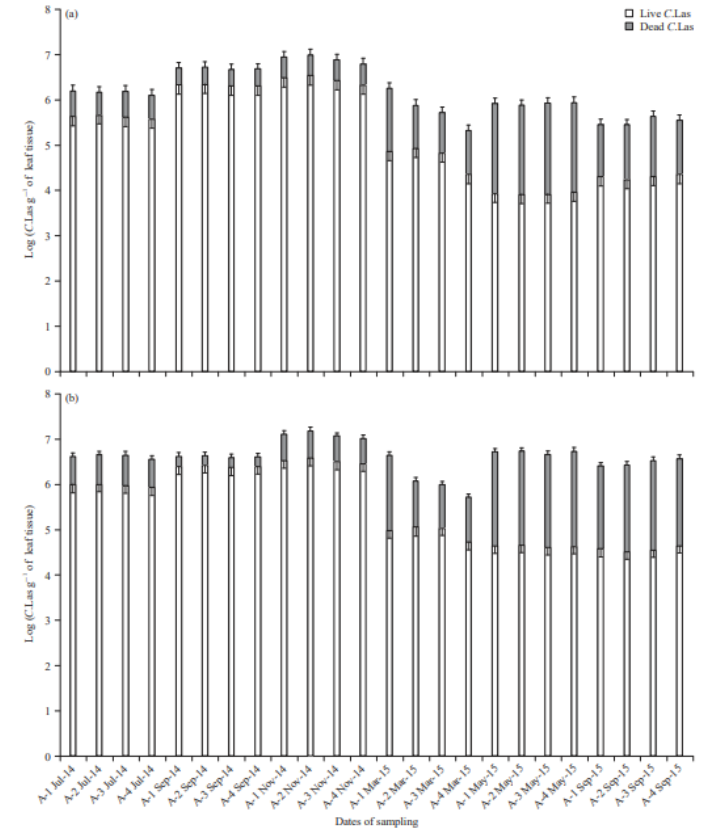
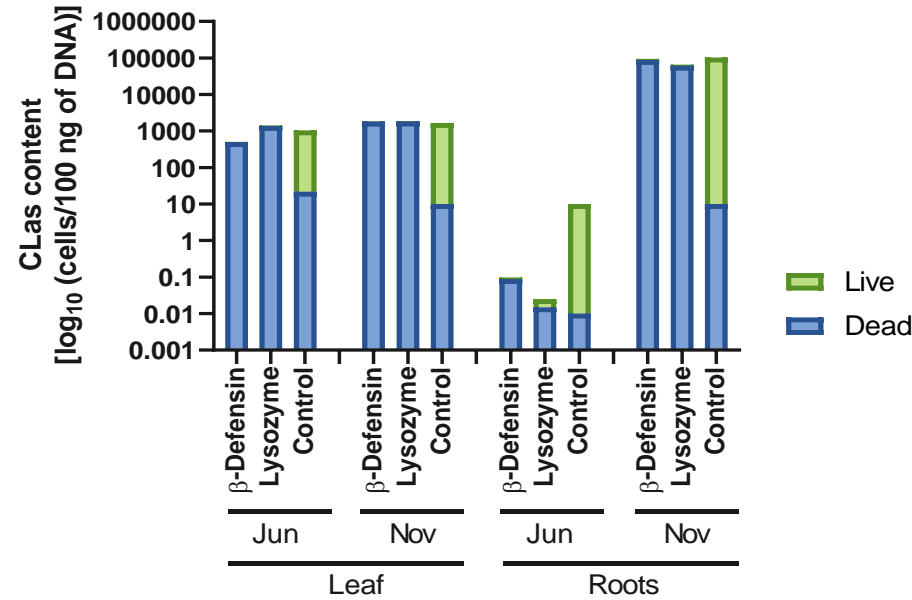
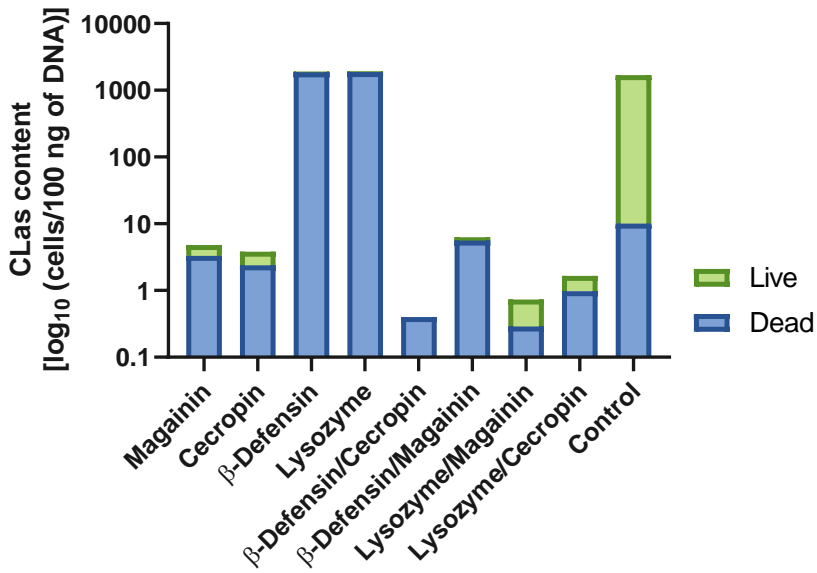


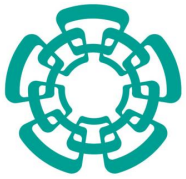
Figure 4. Characterization of the MSN/AMPs complexes. (A) Concentration of AMPs released from MSN5.4, (B) evaluation of antimicrobial activity by plaque diffusion (**, $p \leq 0.0028$; ****, $p < 0.0001$), (C) evaluation of antimicrobial activity in liquid medium (***, $p \leq 0.0001$) and (D) effect of pepsin on MSN/AMPs complexes (***, $p \leq 0.0005$; ****, $p < 0.0001$).

AMPs mitigan HLB





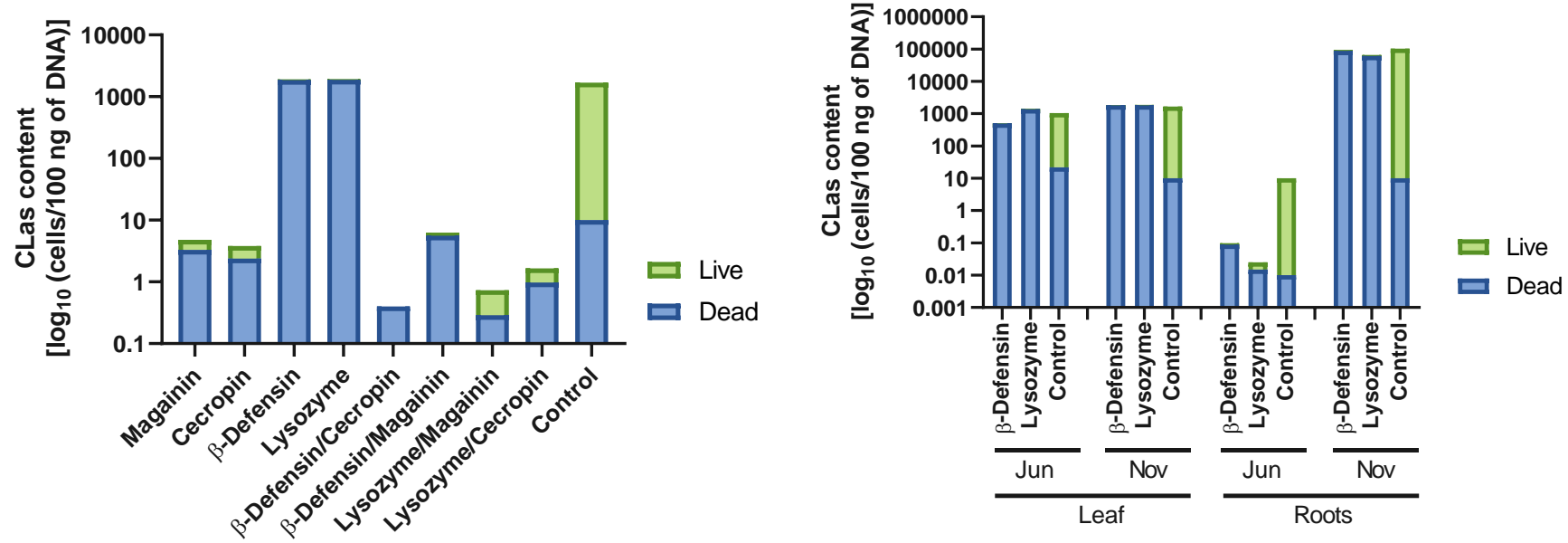




Cinvestav

Otros Antimicrobianos mitigan HLB

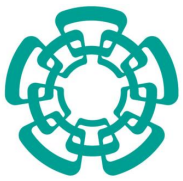
A



B



Calderón-Pérez et al., 2022.



Cinvestav

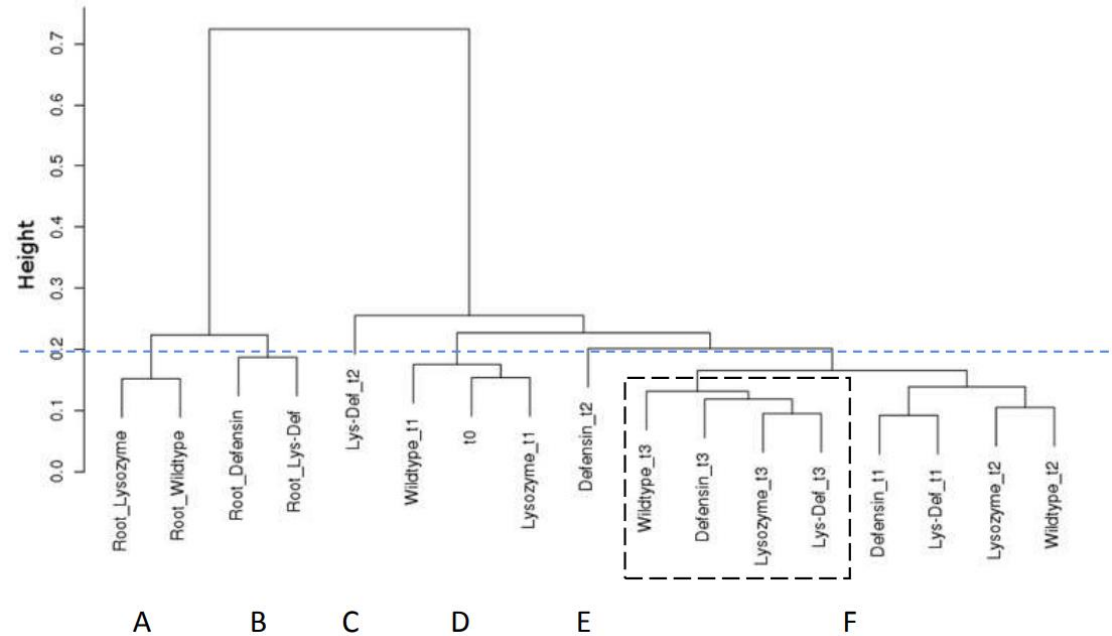
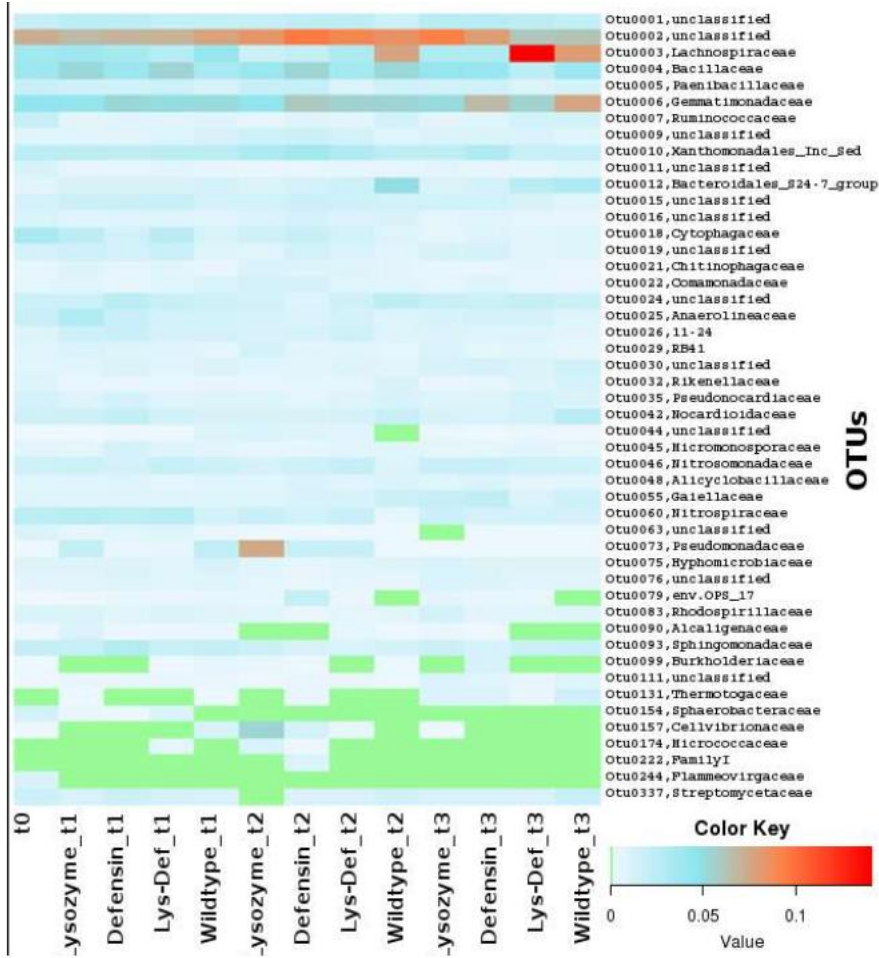
Expresión en limón persa



Zecua-Nájera, 2016, Ramírez-Ortega, 2017.

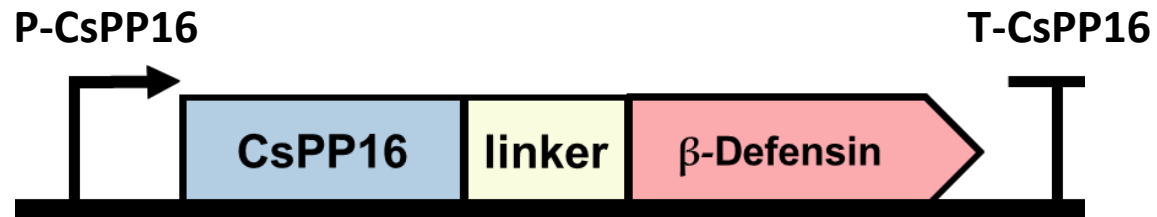
La diversidad bacteriana no se afecta en cítricos GM

0, 3, 6 and 9 months



Edición de genes usando CRISPR-Cas9

- Traslocación del locus CsPP16



Nuevas variedades de soya

Más proteína



Más lípidos

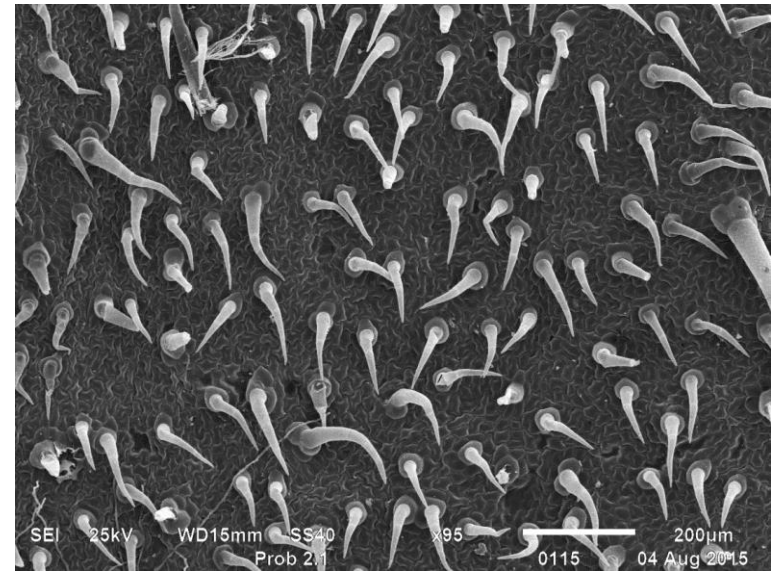
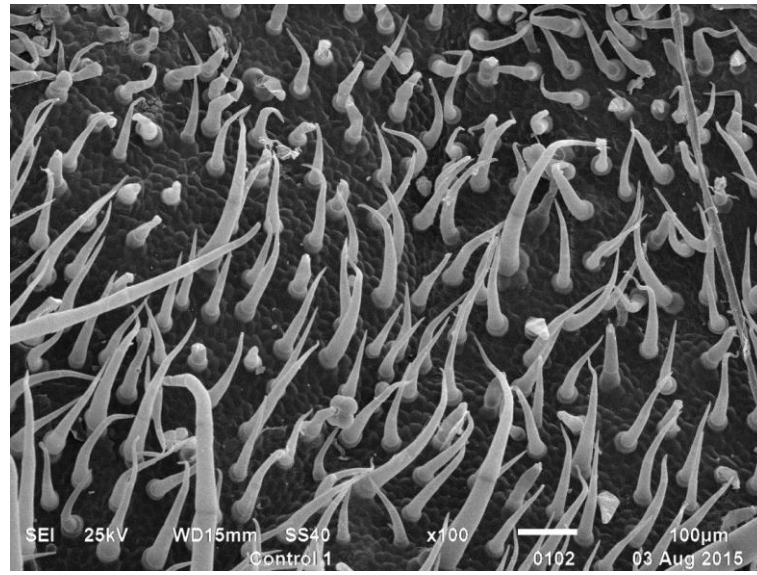


Bradyrhizobium japonicum

Tomate y soya con menos tricomas para reducir infestación de mosquita blanca

Normal

glabrata





Cinvestav

Reducción de tricomas por edición de genomas



Galeano, Valenzuela & Ramírez-Pool et al., 2022.



Cinvestav

ToBRFV



INTRODUCCIÓN

Tobamovirus

- *Tobacco mild green mosaic virus* (TMGMV)
- *Tobacco mosaic virus* (TMV)
- ***Tomato brown rugose fruit virus* (ToBRFV)**
- *Tomato mosaic virus* (ToMV)
- *Tomato mottle mosaic virus* (ToMMV)

DISTRIBUCIÓN

- ToMV, TMV, TMGMV: ampliamente distribuidos
- ToMMV: Brasil, China, Irán, México, USA

Síntomas en planta por *Tobamovirus*



Alishir et al., 2011.
New Disease Reports
(2011) 23, 30.



Scholthof, 2000.
www.apsnet.org



Chin y Miller, 2019.
http://u.asu.edu



Alishir et al., 2016.
New Disease
Reports (2016) 33, 1.



Moteado clorótico



Distorsión



Abultamiento



TMV: Moteado

Breman, 1989. Plant Pathology Circular No. 322



ToBRFV, maduración desigual



TMV Lesiones necróticas

Tsyplenkov A.E., 2009. http://www.agrostyles.ru



Cinvestav



SADER
SECRETARÍA DE AGRICULTURA
Y DESARROLLO RURAL
Y TERRITORIO RURAL



SENASICA
SERVICIO NACIONAL DE SANIDAD
AGROPECUARIA Y FORESTAL
AGRICULTURABLE



SADER
SECRETARÍA DE AGRICULTURA
Y DESARROLLO RURAL
Y TERRITORIO RURAL



SENASICA
SERVICIO NACIONAL DE SANIDAD
AGROPECUARIA Y FORESTAL
AGRICULTURABLE

Síntomas de manchas amarillas y rayado de frutos de chile infectados con ToBRFV



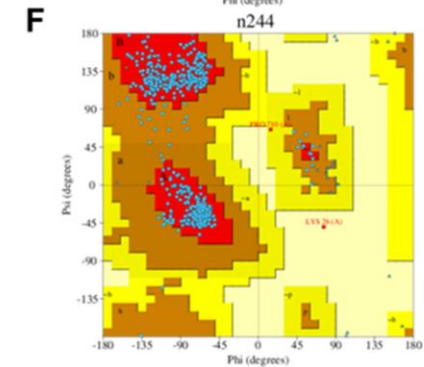
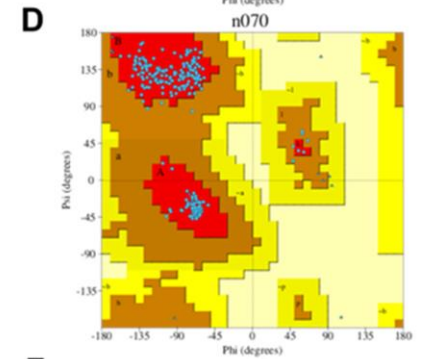
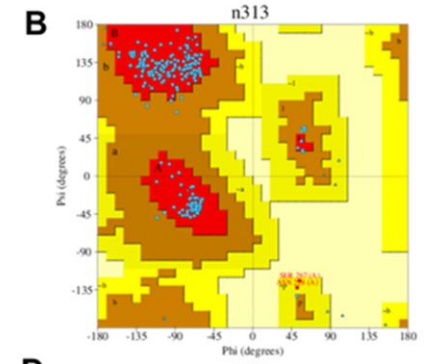
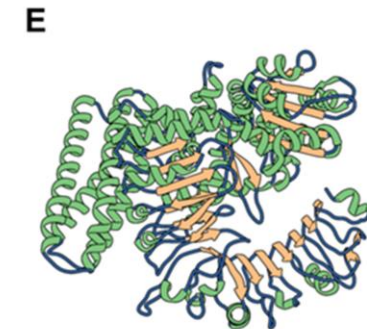
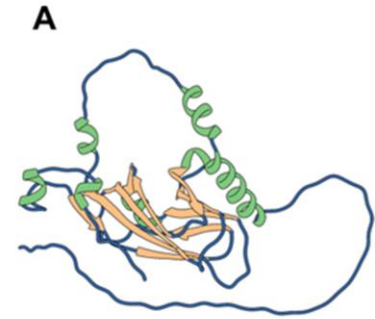
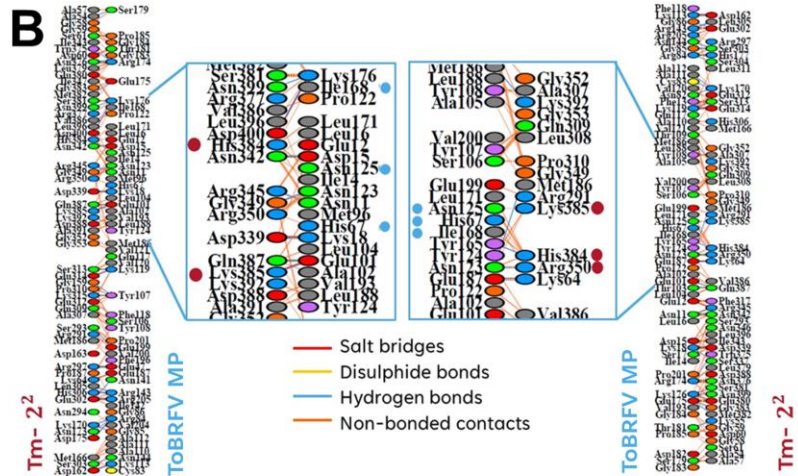
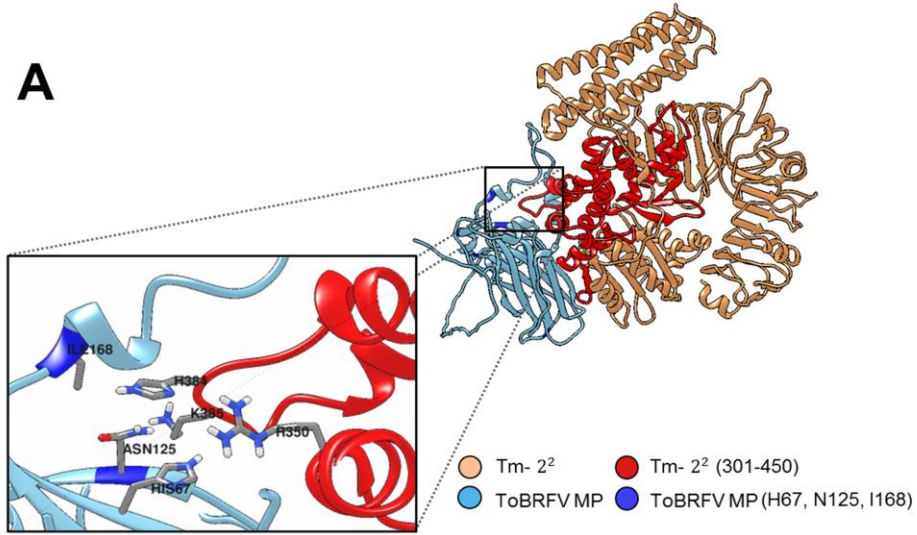
Síntomas de maduración irregular y manchas color marrón en frutos de chile infectados con ToBRFV



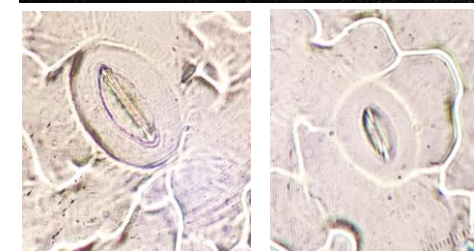
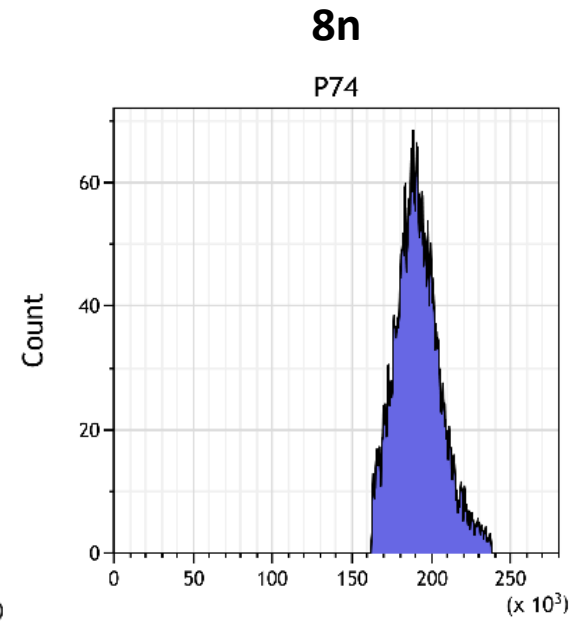
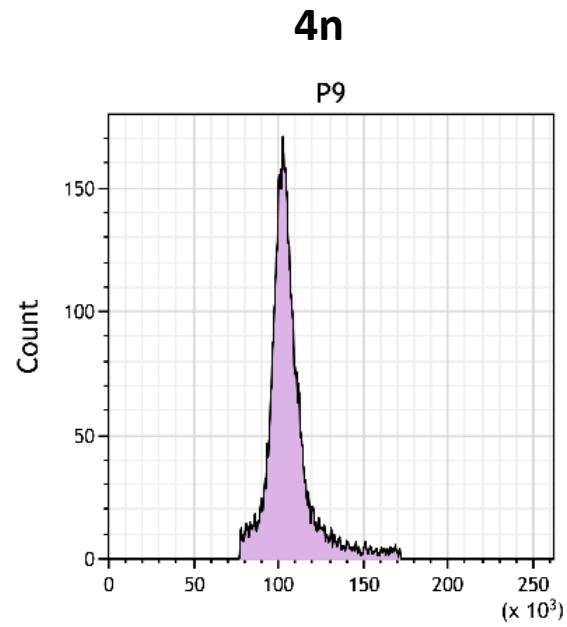
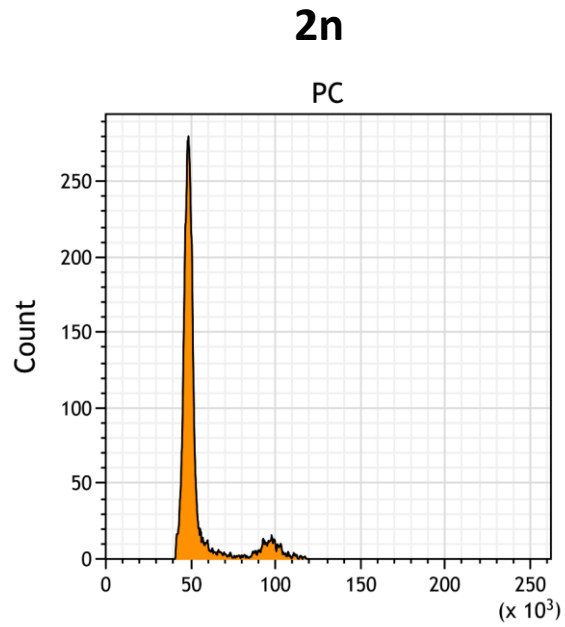
Genotipos asintomáticos en Chile



Mutagénesis del receptor Tm-2²

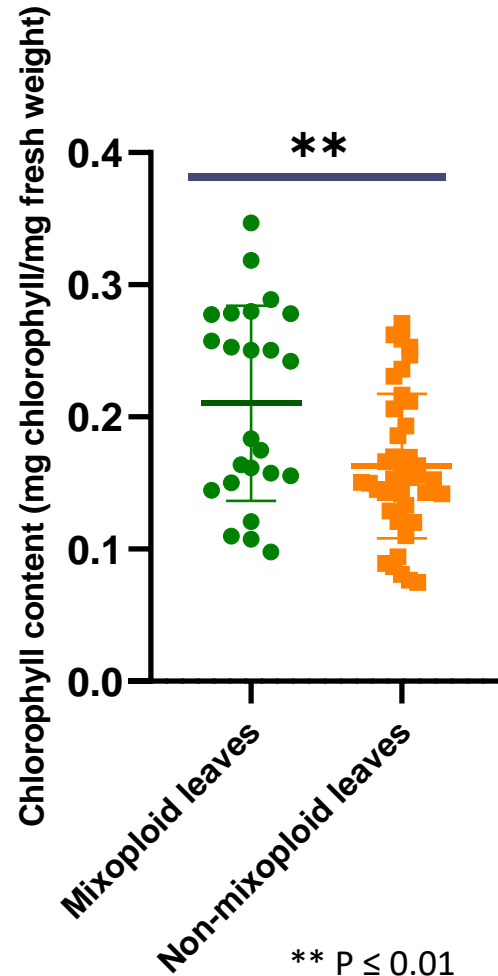


Aumento de diversidad genética por poliploidía

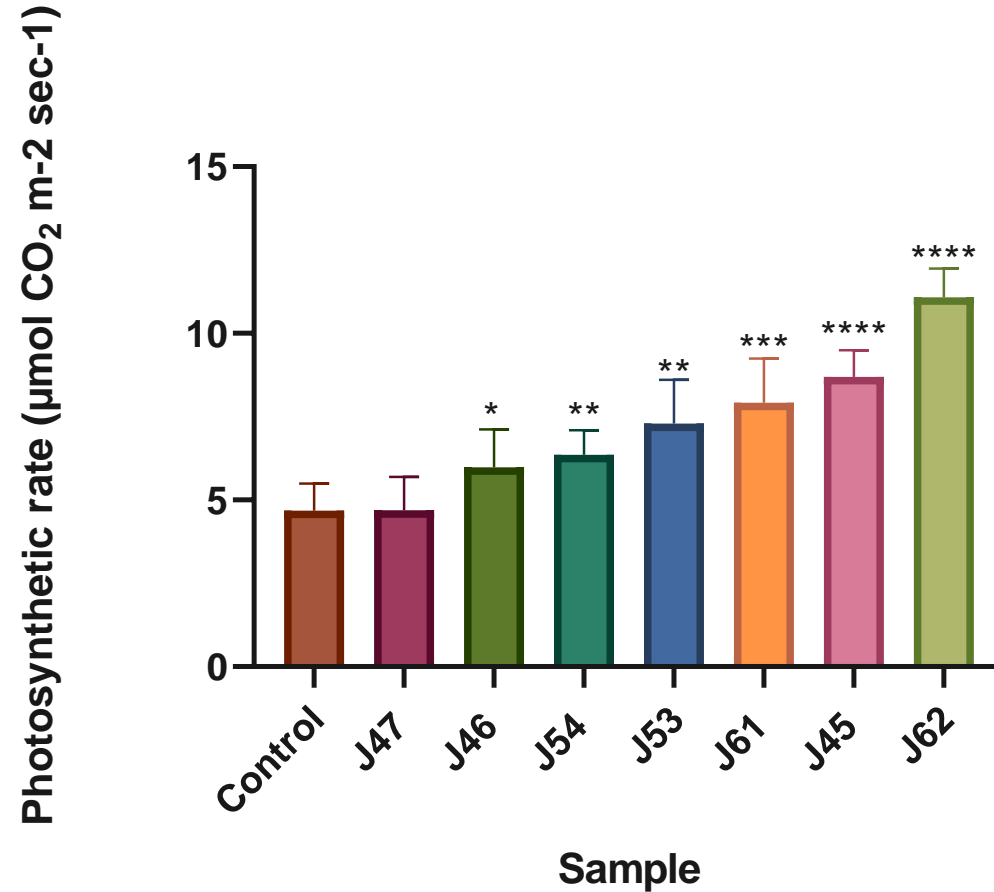


Tomates mixoploides muestran mejor fotosíntesis

Chlorophyll content



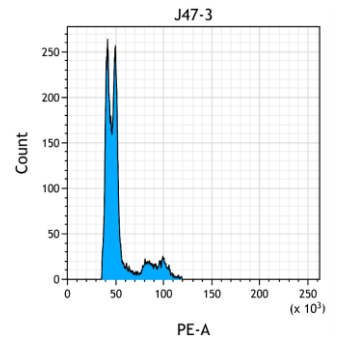
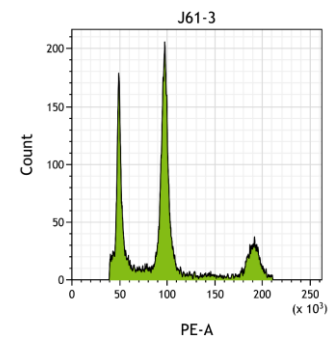
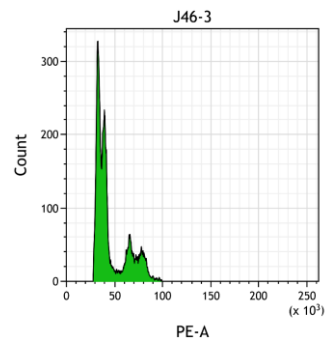
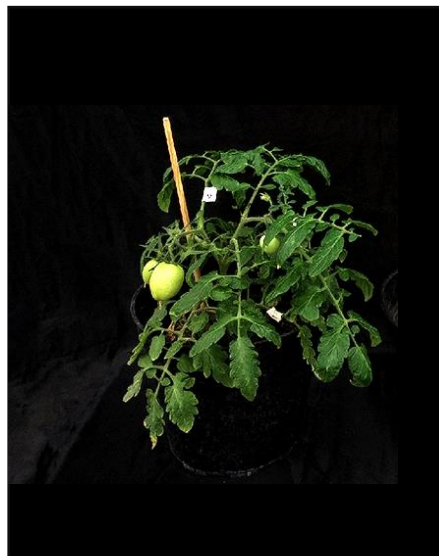
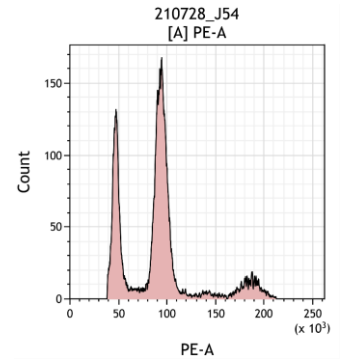
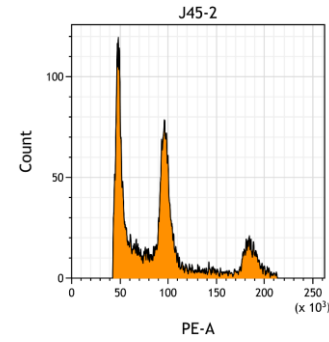
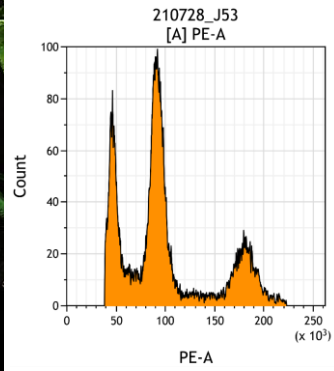
Photosynthetic rate



* P ≤ 0.05, ** P ≤ 0.01, *** P ≤ 0.001, **** P ≤ 0.0001



Plantas de tomate mixoploides



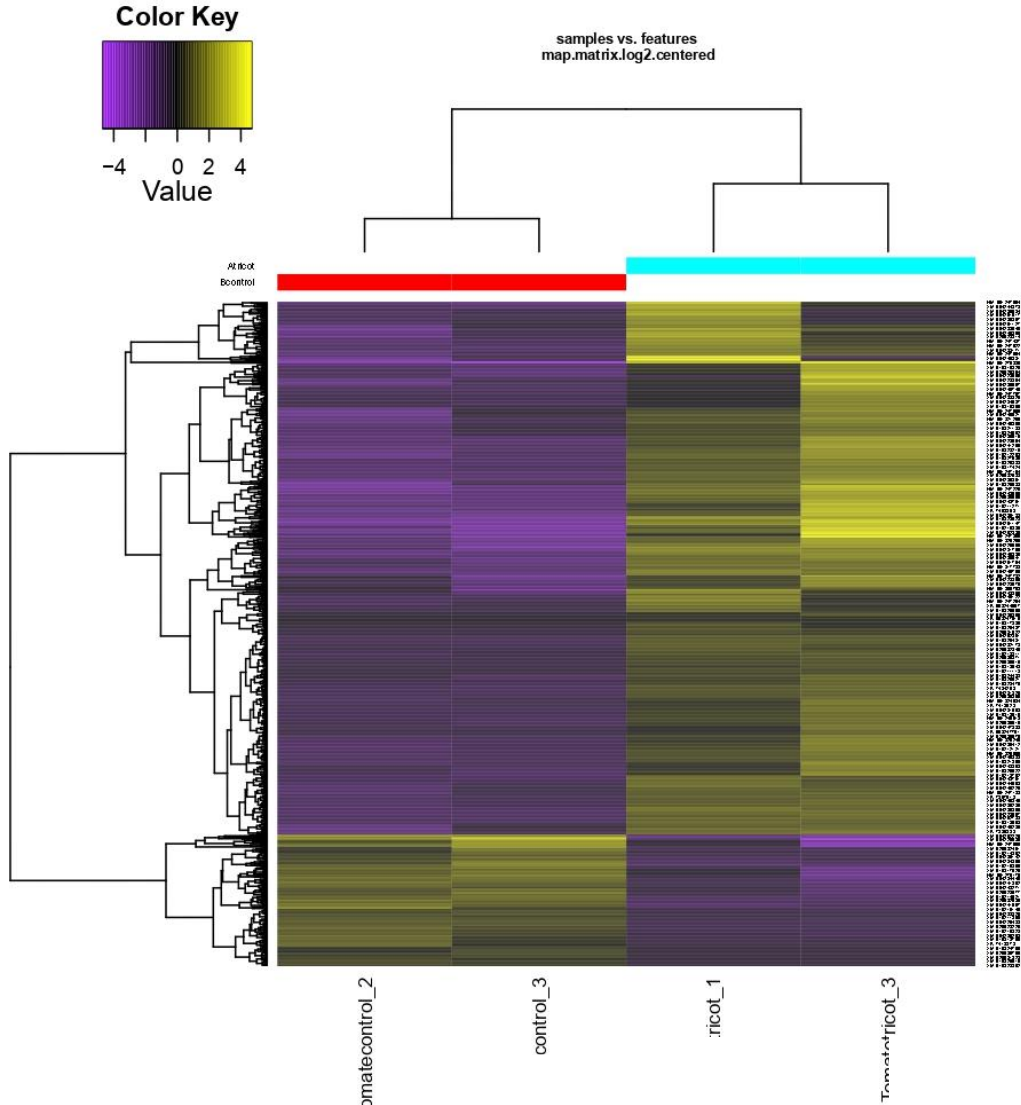
Germoplasma de tomate con tres cotiledones





Cinvestav

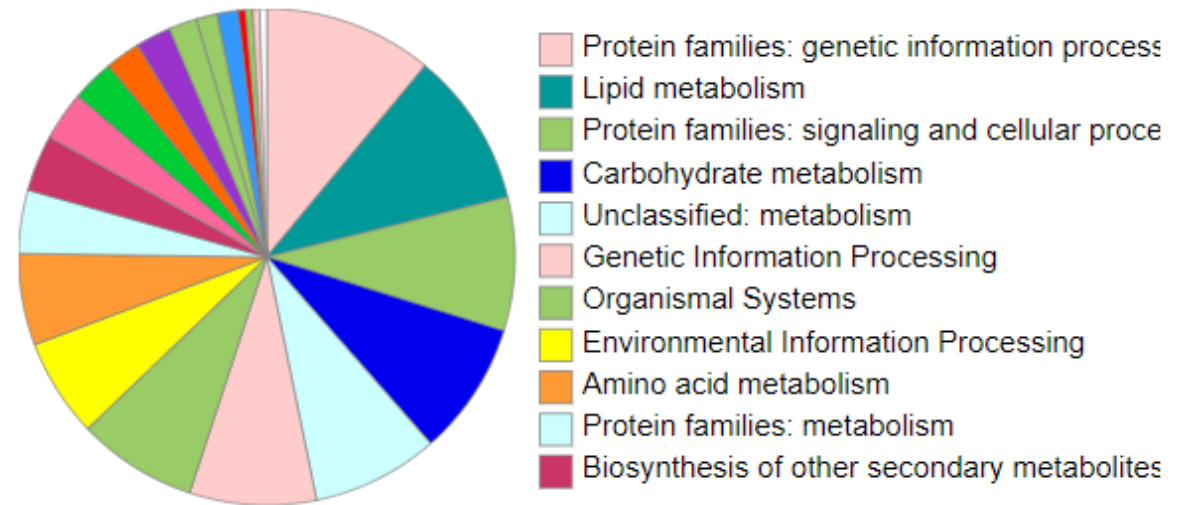
Análisis de transcriptoma de tomate 3-C



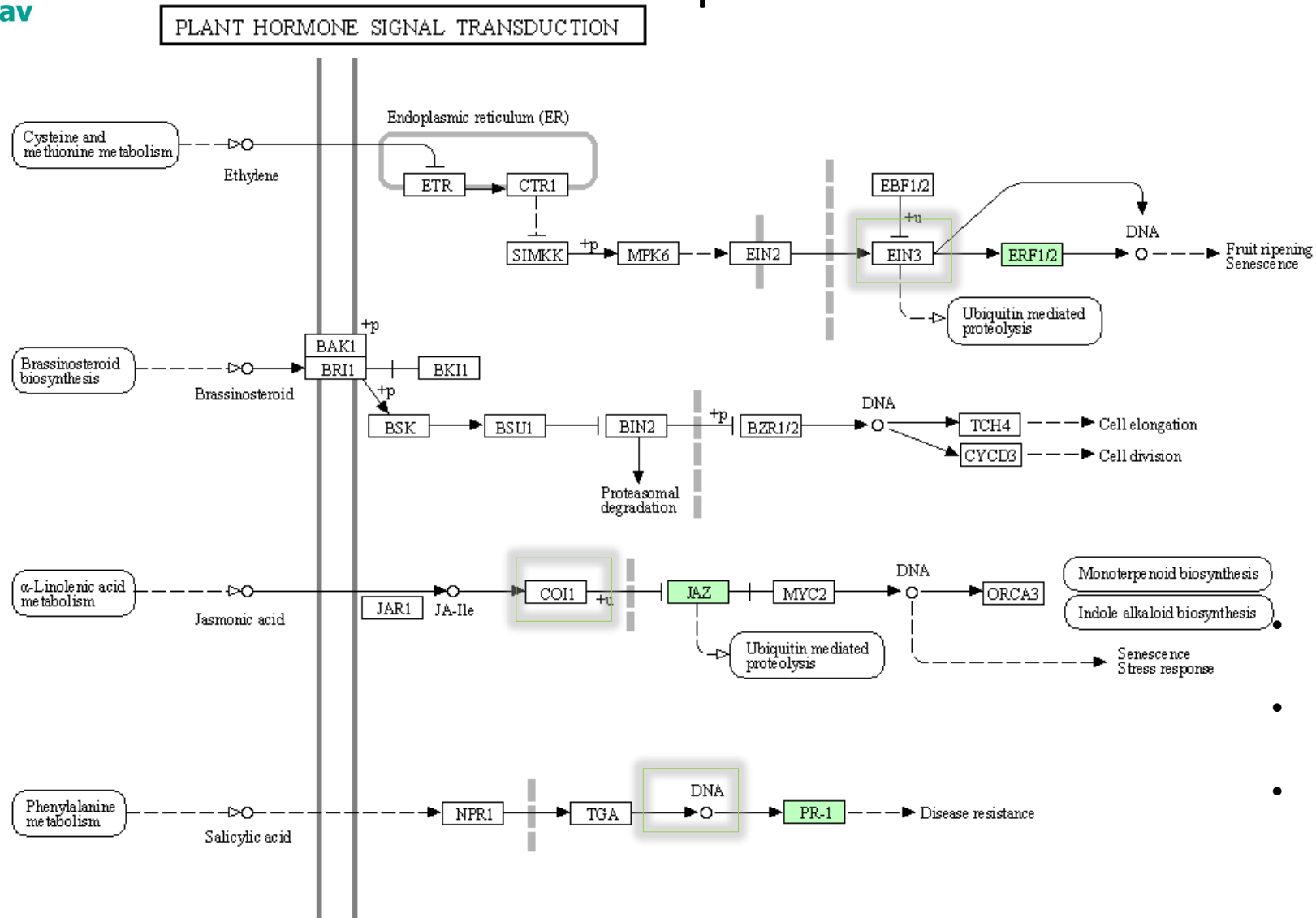
Heatmap of Control vs Tricot tomato plants F2

614 overexpressed transcripts and 152 repressed.

Functional category



Sobreexpresión de transcritos de síntesis de hormonas y de respuesta de sistema inmune innato

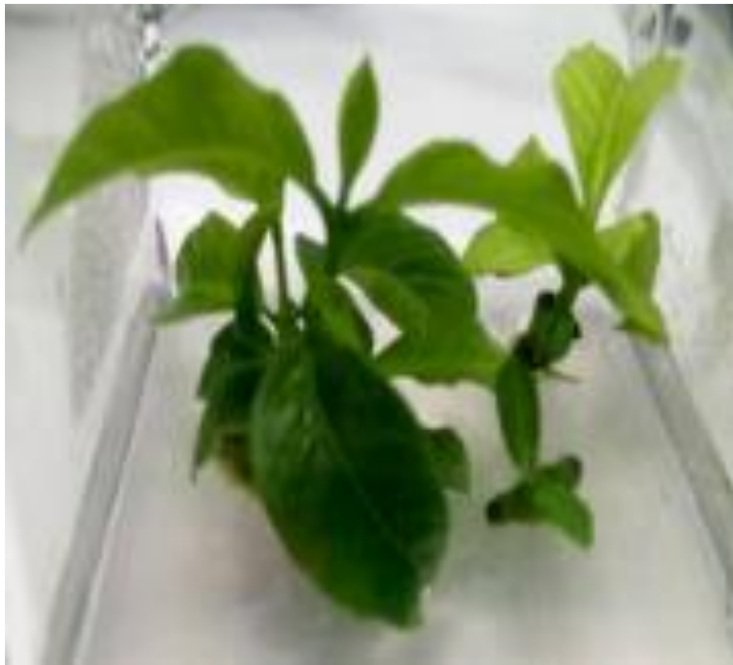
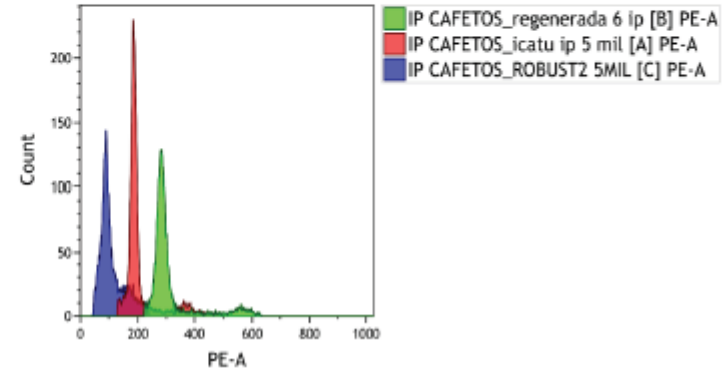
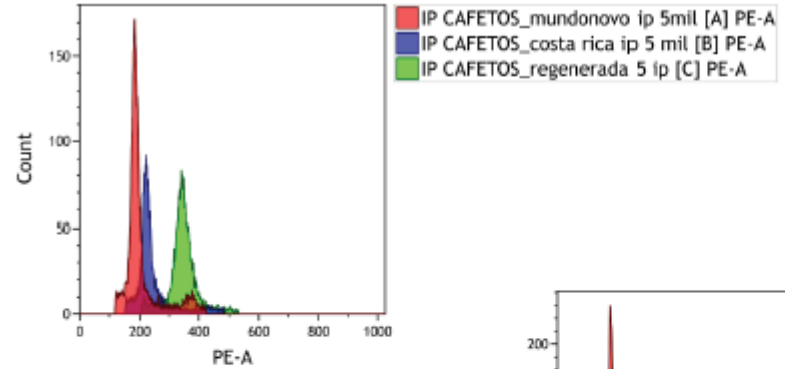


- **ERF1 ethylene-responsive transcription factor 1**
- **JAZ jasmonate ZIM domain-containing protein**
- **PR1 pathogenesis-related protein 1**

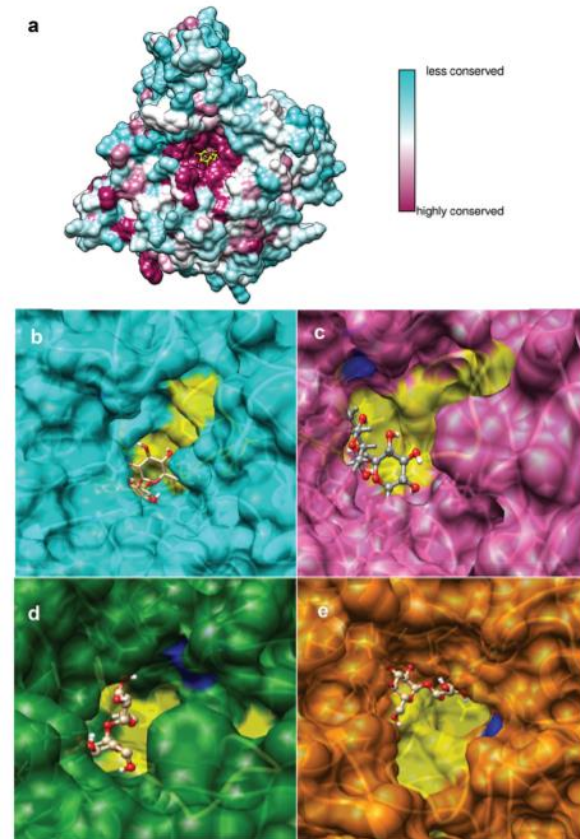
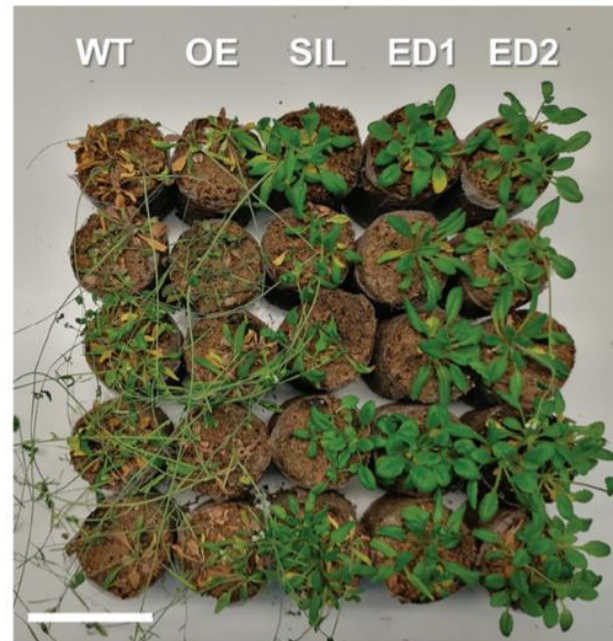
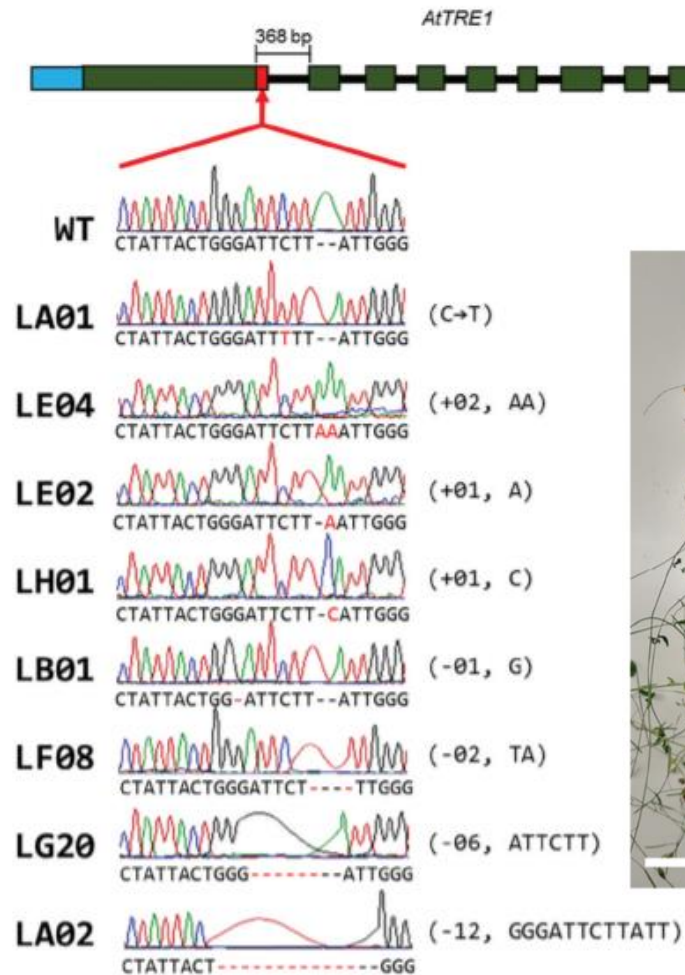


Cinvestav

Nuevas variedades de café por cruza asexual



Edición de genes para tolerancia a sequía



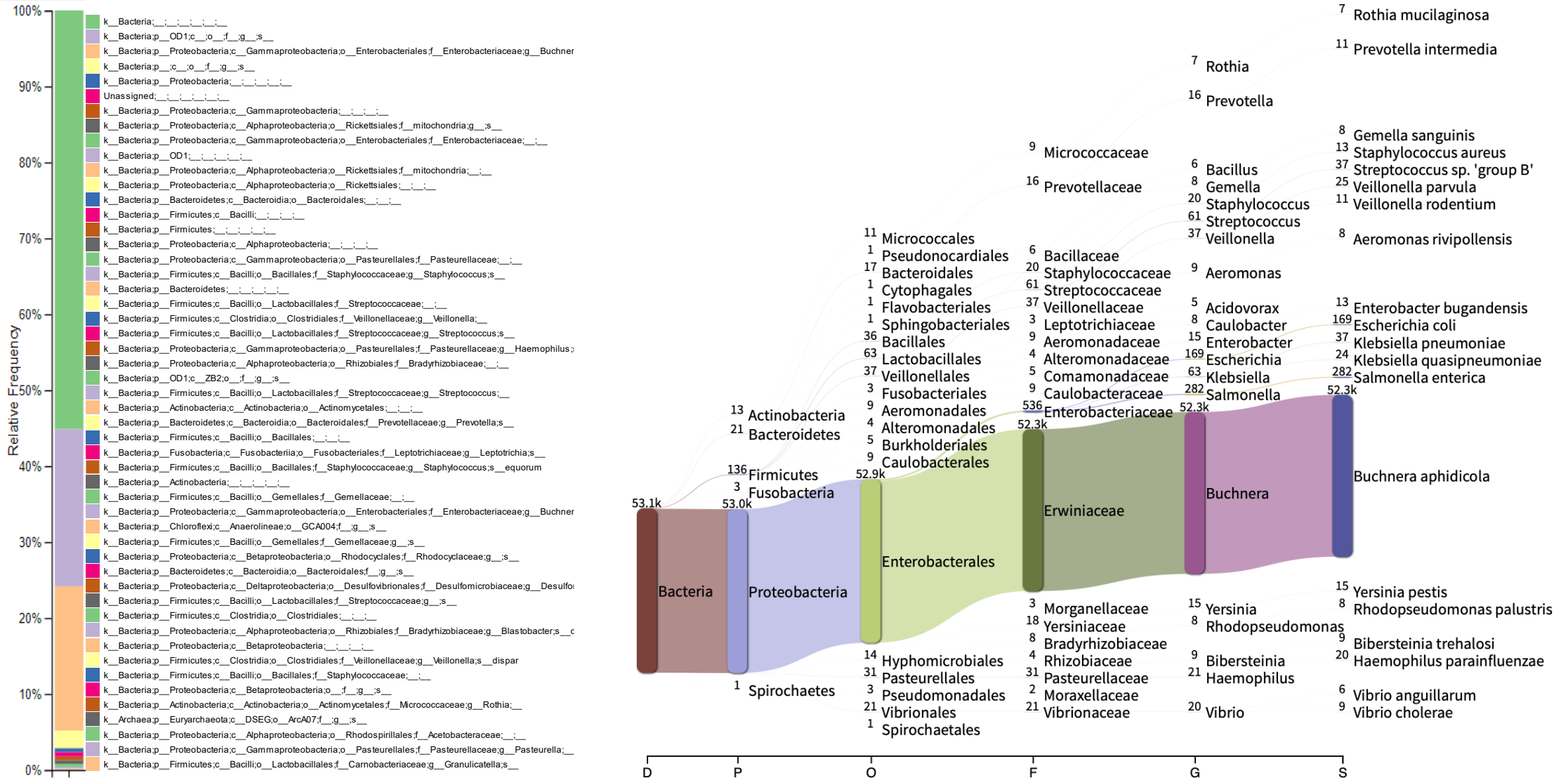
Núñez-Muñoz et al., 2021.

Microbioma de *Melanaphis saccharis* (pulgón amarillo)
Campus experimental INIFAP Celaya

Colaboración Dr. Bujanos

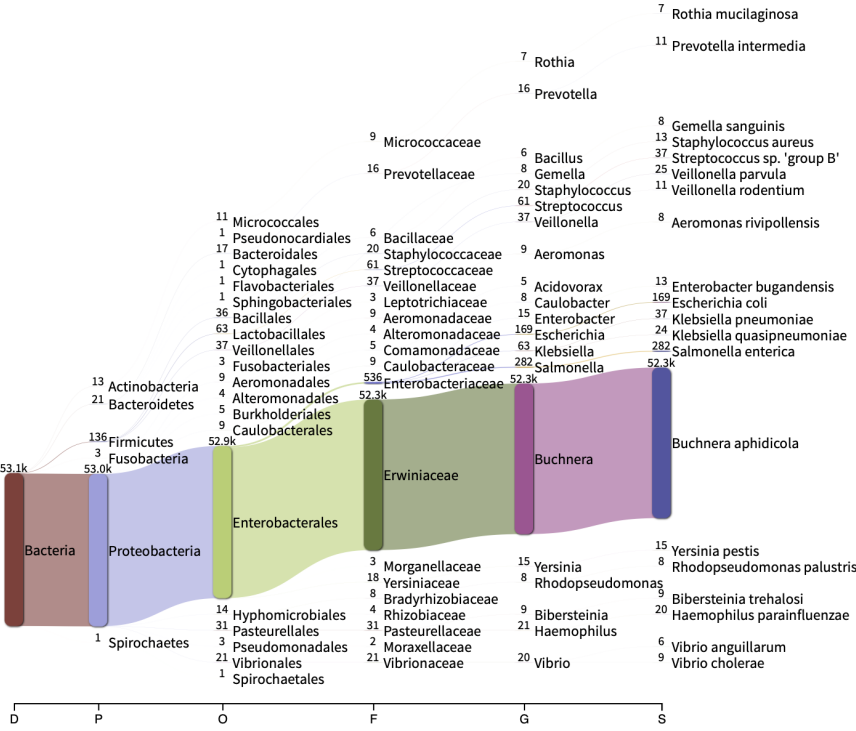


Microbioma de *Melanaphis saccharis*



Estimación de diversidad de especies en *M. sacchari*

118,936 secuencias



Type	Index or measure	Value
Observed Richness	OTUs richness	110.000
	Singletons	0.5090
	Dobletons	0.1273
Good's coverage	ACE	246.000
	Chao2 (S_{chao})	365.080
Richness estimators	Jackknife-1	270.998
	Jackknife-2	343.990
Evenness	Pielou J	0.0300
	Berger-Parker (d)	0.9860
Dominance	Simpson (D)	0.0279
	Combined diversity	Shannon (H')

Diversidad de *Wolbachia* en *M. saccharis*

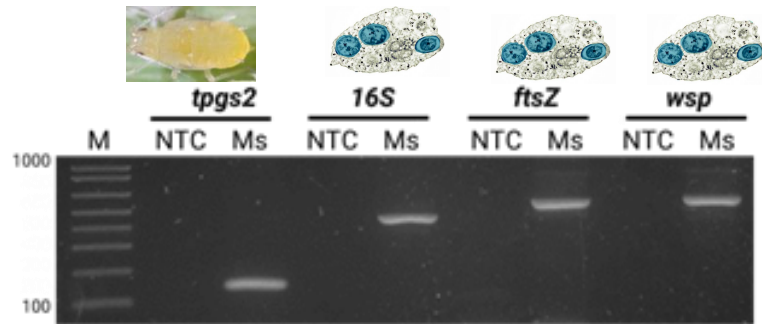
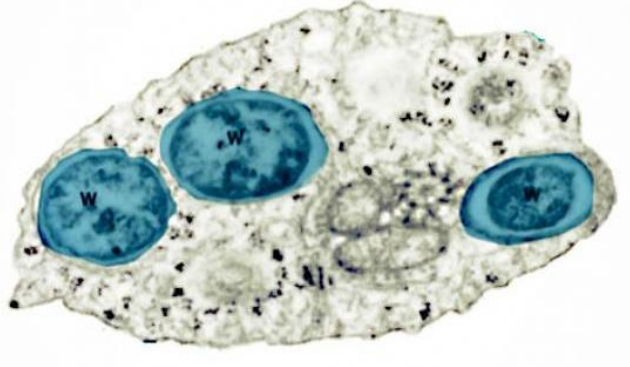


Figure 2. PCR detection of *Wolbachia* spp. in *M. sacchari* using specific primers against *M. sacchari* genome (*tpgs2*) and *Wolbachia* (*16S*, *ftsZ* and *wsp*).

Host	Count
<i>Homalodisca vitripennis</i>	864
<i>Formica fusca</i>	768
<i>Proasellus ibericus</i>	402
<i>Wolbachia</i> , ambiguous taxa	243
<i>Zorotypus caudelli</i>	58
<i>Wolbachia uncultured</i>	48
<i>Wolbachia</i> sp. PL13	30
<i>Radopholus similis</i>	25
* <i>Rhinocyllus conicus</i>	19
<i>Wolbachia pipientis</i>	17
<i>Mesaphorura yosii</i>	15
* <i>Bangasternus orientalis</i>	12
<i>Pentastiridius leporinu</i>	1
Total	2502

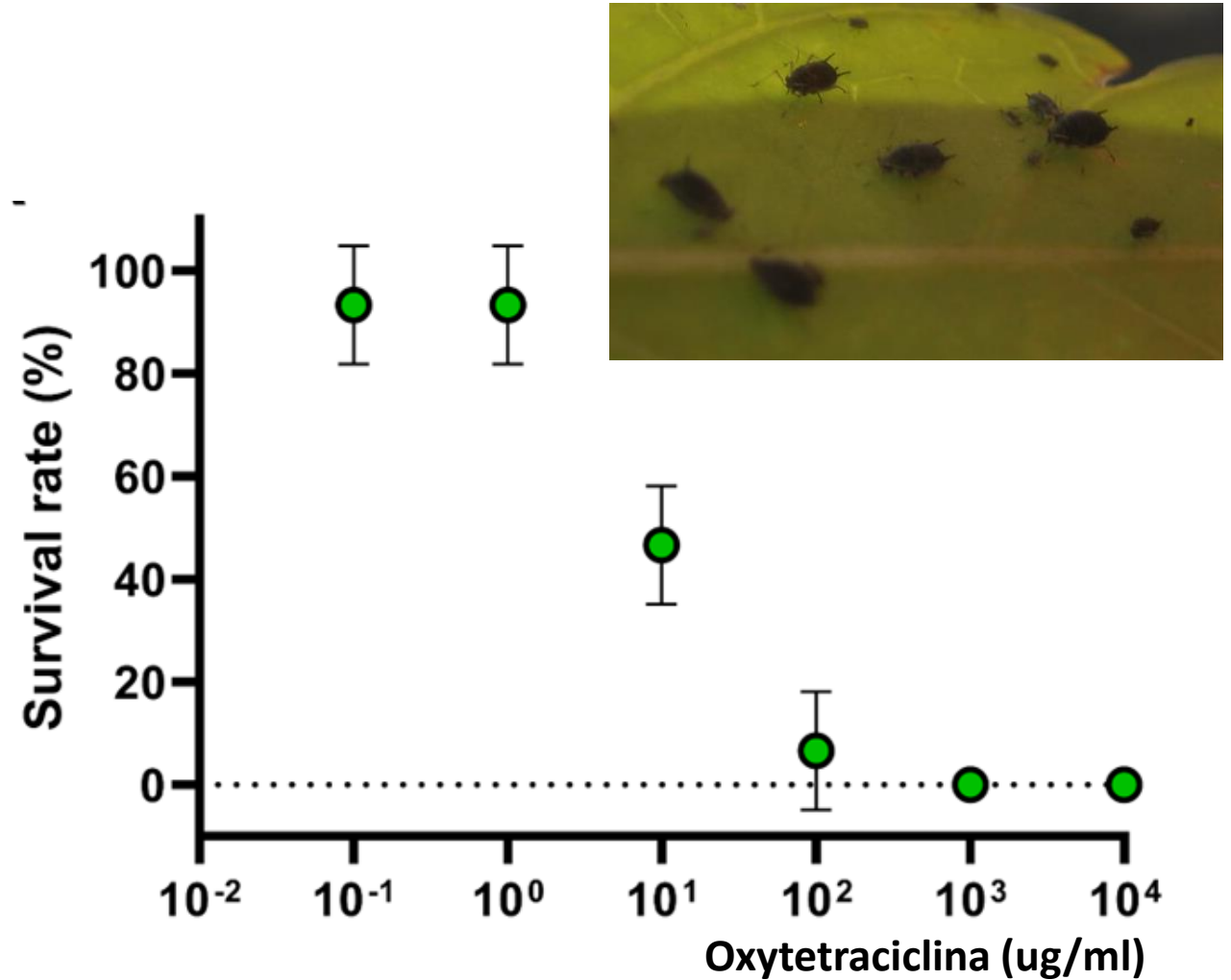
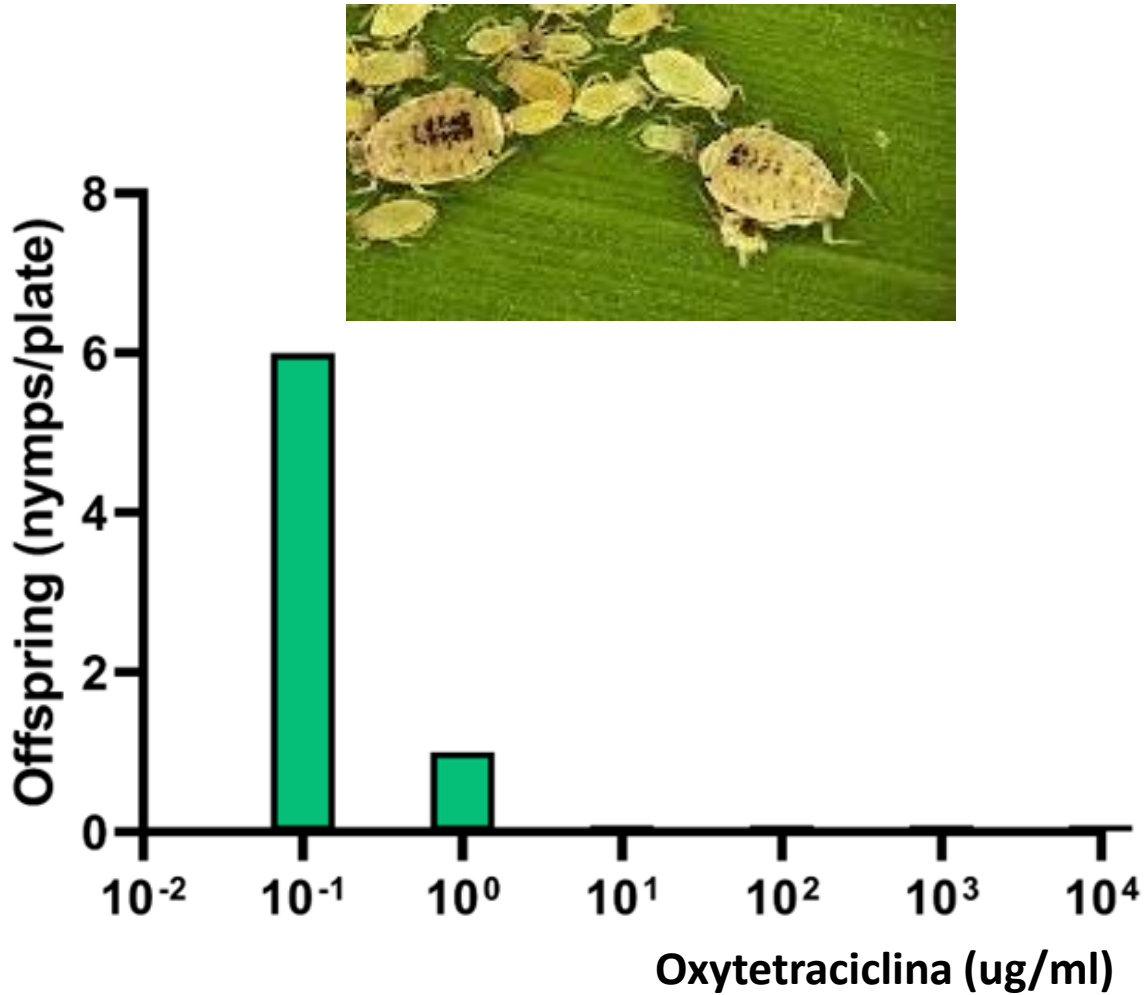
Wolbachia induce la partenogénesis en insectos



¿Podríamos cambiar la microbiota
del pulgón amarillo?



Efecto de antibióticos en hembras de *M. sacchari*



Bacterias benéficas como bioinoculantes

- **Bacteria producing AMP**

- **Aerobial fermentation**
- **Formulation**

Use of beneficial de *Bacillus* as plant growth and development promoter



Identificación de *Xylella fastidiosa* en vides

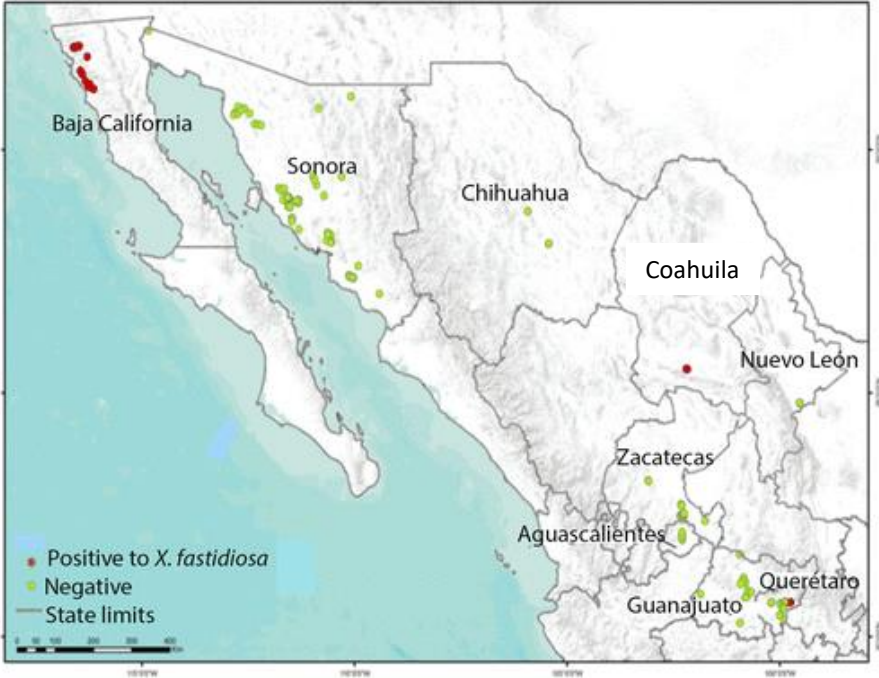


Table 2. Allelic profile of *Xylella fastidiosa* isolates from Mexican vineyards^a

Sample	State	ST	MLST loci						
			<i>leuA</i>	<i>petC</i>	<i>malF</i>	<i>cysG</i>	<i>holC</i>	<i>nuoL</i>	<i>glT</i>
Vid	Baja California	ST1	1	1	1	1	1	1	1
Vid	Coahuila	ST1	1	1	1	1	1	1	1
Vid	Querétaro	NI	1	1	9*	23*	25*	1	1
	...	NI	44C-T	21C-A	56 G-A
	...	NI	99T-G	53T-C	86 T-C
	...	NI	495T-C	131 T-C
	...	NI	134 T-C
	...	NI	185 T-C
	...	NI	218 G- A

^a MLST = multilocus sequence typing, ST = sequence type, NI = noninformative, and an asterisk (*) indicates substitutions.

Identificación de fagos líticos (control biológico).

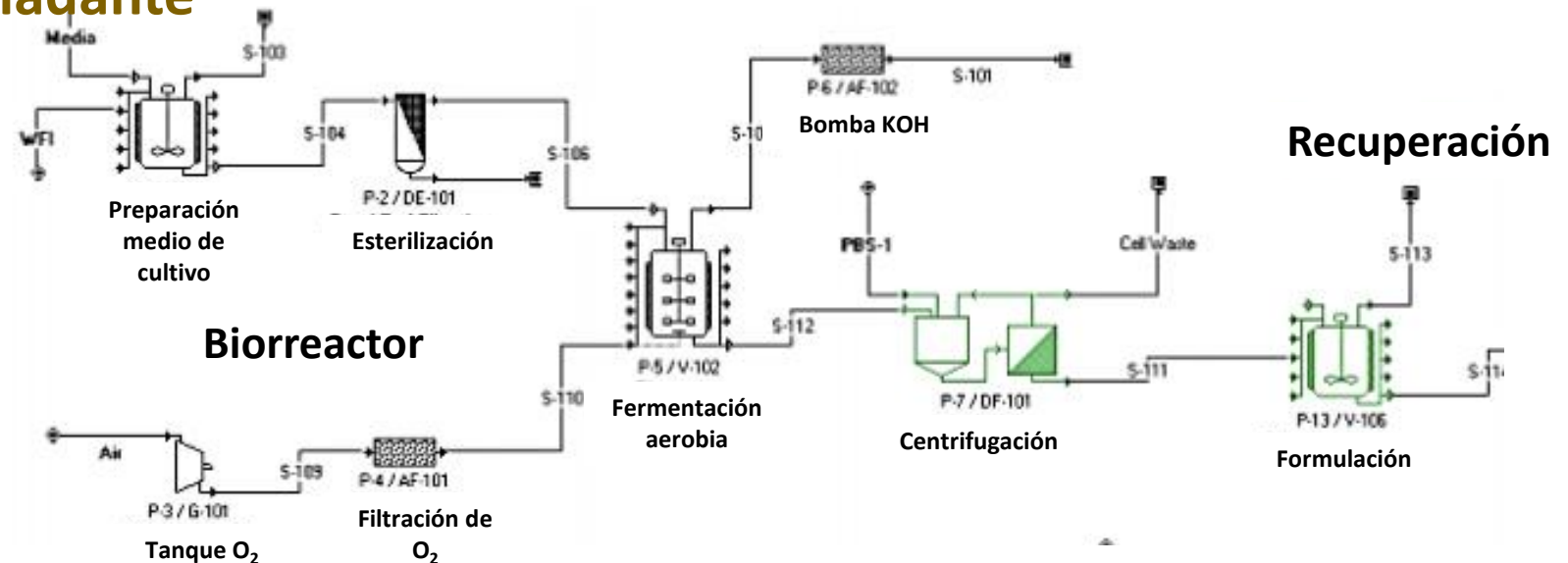
- *Xylella fastidiosa*
- *X. citri*
- *X. campestris*
- *C. michiganensis*
- *R. solanacearum*
- *Salmonella sp*
- *Listeria monocytogenes*



Bioingeniería de la producción de fagos líticos

Operaciones unitarias a capacidad instalada de 10 L

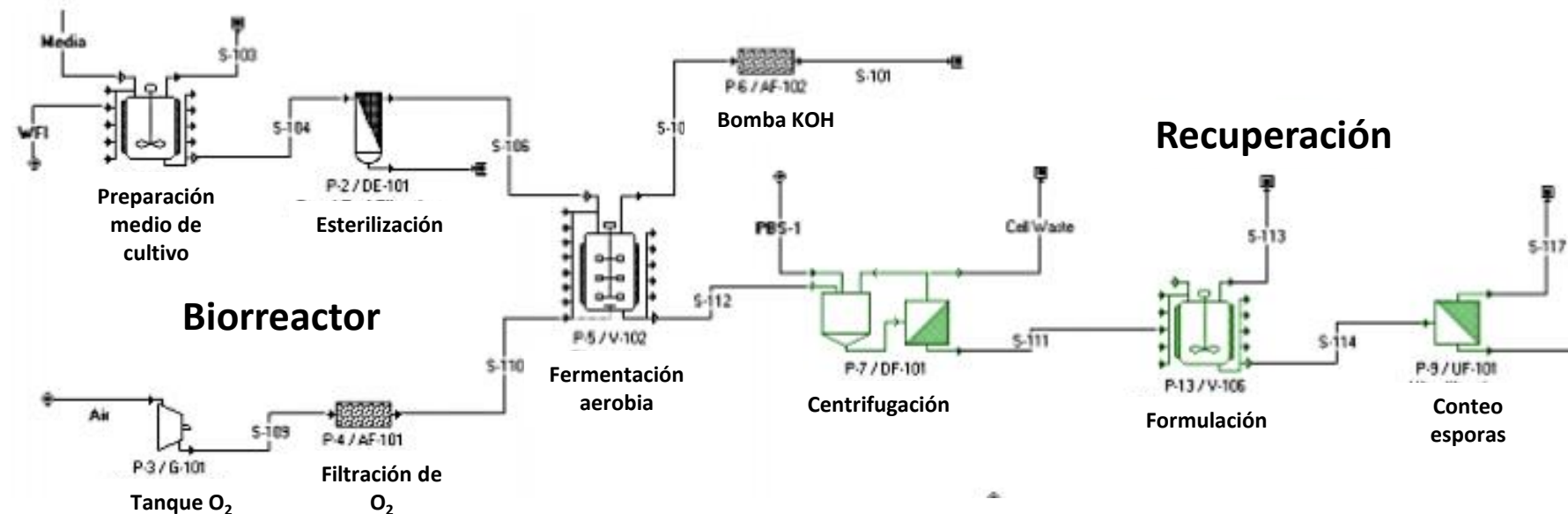
- Bancos de bacterias y fagos
- Fermentación en biorreactor aeróbico
(lote alimentado, control pH, O₂, temperatura)
- Centrifugación
- Ultrafiltración de sobrenadante
- Formulación
- Conteo de UFP
- Pruebas de estabilidad



Bioingeniería de la producción de esporas de *Bacillus*

Operaciones unitarias a capacidad instalada de 10 L

- Banco celular
- Fermentación en biorreactor aeróbico
(lote alimentado, control pH, O₂, temperatura)
- Centrifugación
- Secado
- Formulación
- Conteo de esporas
- Pruebas de estabilidad



Bioingeniería de la producción de lactonasa para bloquear *Quorum Sensing* en bacterias

Operaciones unitarias a capacidad instalada de 10 L

Banco celular

Fermentación en biorreactor aeróbico (lote alimentado, control pH, O₂, temperatura)

Centrifugación

Lisis celular por sonicación

Purificación de cuerpos de inclusión

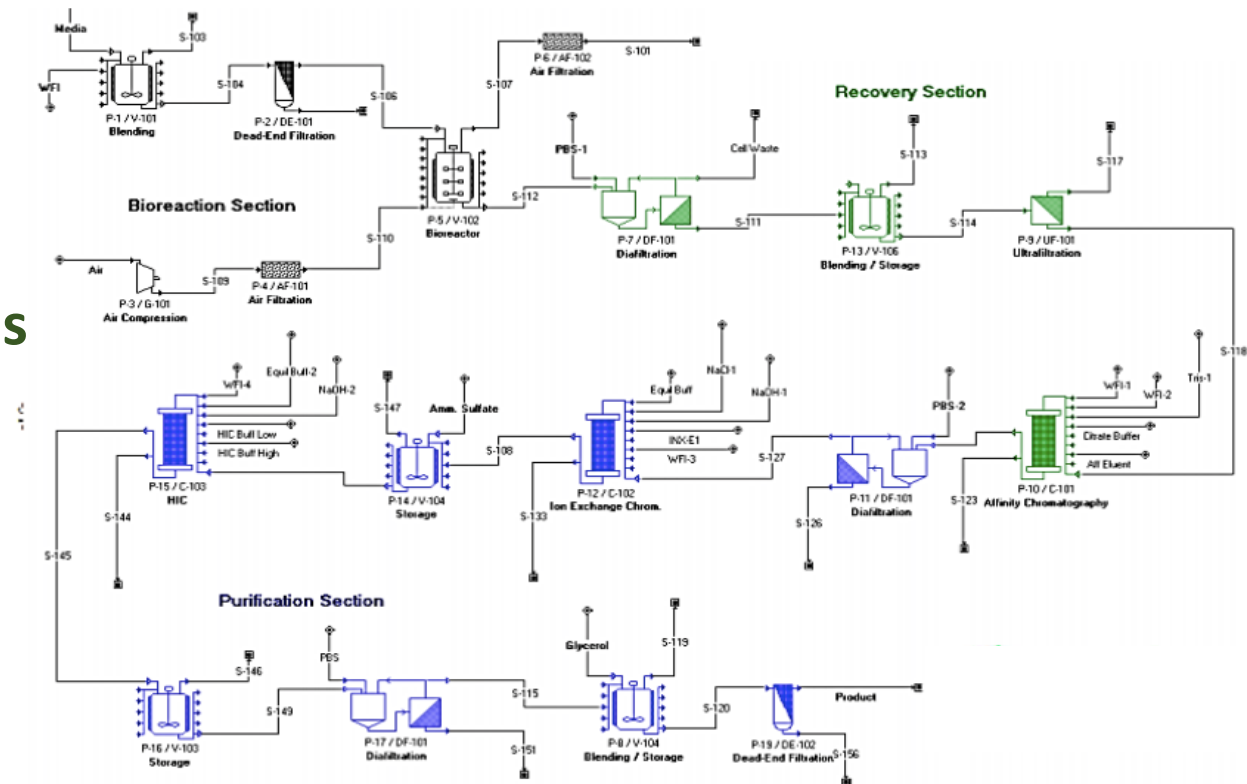
Solubilización de IB

Cromatografía de intercambio de iones

Replegamiento de proteínas

Esterilización por filtrado

Cuantificación de proteínas



Producción en cuarto limpio



gB-MS	
Centro Integral de Servicios Computarizado de Salud	
QR	
Identificación	310901536X2125
Servicio Digital 0508.001 10.00 hrs	
1. Datos generales del paciente	
Nombre	
Apellido	
Fecha de nacimiento	
Sexo	
Identificación	
Para obtener información sobre la disponibilidad de sus servicios usted podrá consultar en el Centro Integral de Servicios Computarizado de Salud o bien comunicarse al Centro de Atención al Paciente al teléfono 0508.001 10.00 hrs.	
gB-MS	

gB-MS	
Centro Integral de Servicios Computarizado de Salud	
QR	
Identificación	210901504X2027
Servicio Digital 0508.001 10.00 hrs	
1. Datos generales del paciente	
Nombre	
Apellido	
Fecha de nacimiento	
Sexo	
Identificación	
Para obtener información sobre la disponibilidad de sus servicios usted podrá consultar en el Centro Integral de Servicios Computarizado de Salud o bien comunicarse al Centro de Atención al Paciente al teléfono 0508.001 10.00 hrs.	
gB-MS	



Vacunas recombinantes de uso pecuario

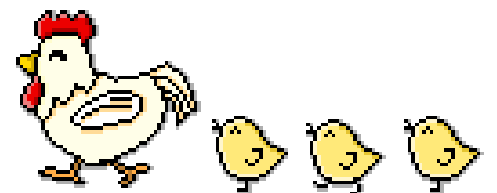
*Genes sintéticos que codifican antígenos
vacunales*



Botulismo - Antigenic domains of C and D toxins of *Clostridium*

Influenza H7N3 - Hemagglutinin and neuraminidase ID in Mexico.

Adyuvantes nuevos - *Interleukins 2 and 4*



Grupo Interdisciplinario

CINVESTAV

Dr. Roberto Ruiz Medrano, Biotecnología
Dra. Beatriz Xoconostle Cázares, Biotecnología
Dra. Berenice Calderón Pérez
Dr. José Abrahán Ramírez Pool
Dra. América Padilla Viveros, Transdisciplinario
Dr. Marco Antonio Vega López, Infectómica
Dr. José Luis García Cordero, U Monterrey
Dr. Edgar Morales, Bioquímica
Dr. Salvador Gallardo, Física
Dr. Octavio Ramos Flores, UPEAL
Dr. Jorge Fernández Hernández, UPEAL
Aux. MC. Brenda Vargas Hernández
Aux. Leandro Nuñez Muñoz
Dra. Guadalupe Segura Covarrubias
Dr. Rogelio González González
Dr. Gabriel Marcelino Pérez
M.C. Diana Tapia Sidas
M.C. Ana Olivares
Dr. Daniela Roa, Bioquímica

Dr. Víctor Rosales, LANSE
Dr. Leopoldo Santos, Biomedicina
Dra. Leticia Cedillo, Biomedicina
Dr. Luis Briebe Castro

SILANES

Dr. Jorge González
M.C. Araceli Olguín
M.C. Marcela Farías

IMSS

Dra. Rosalía Lira Carmona
Dr. Eduardo Ferat.
Dr. Constantino López
Dr. Niels Wachter Hansen
Dr. César Raúl González Bonilla
Dr. Mauro Eduardo Berta Damaski

LEI

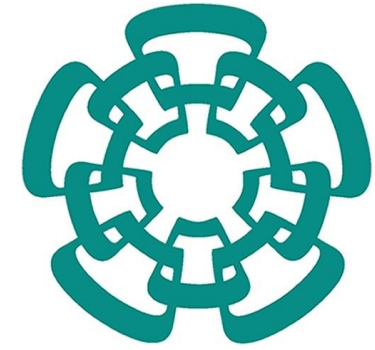
Dr. Cecilia Padierna Mota

VCGA Consultores

UC Davis, USA

Dr. Bill Lucas
Dr. Bob Gilbertson
Dr. María Rojas

Estudiantes graduados



Beatriz Xoconostle Cázares



Roberto Ruiz Medrano



Berenice Calderón Pérez



Angélica Concepción Martínez Navarro



Jorge Luis Ruiz Salas



Diego Fernando Gutiérrez Galeano



Roberto Toscano Morales



Miguel Ángel Guerra Lupián



Santiago Valentín Gordillo



Paul Starsky Herrera Pola



Rebeca Zecua Nájera



Emma Oliva Fuentes Ramírez



Kenny Alejandra Agreda Laguna



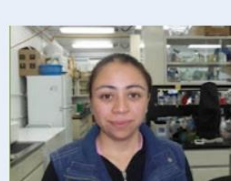
Elena María Peñaranda Lizarazo



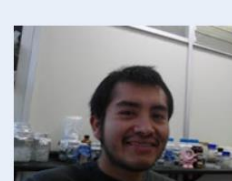
Lilian Rocío Duplan Bermúdez



Jessica Citlalli Cardillo Jiménez



Andrea Gómez Felino



Insó Luis Cruz Jaramillo



Ariane Regina Razo Rodríguez



Lidia Guadarrama Valencia



Carlos Gabriel Espinoza Amador



Brenda Beatriz Xoconostle Morán



Laura Sofía Castillo Ortega



José Abrahán Ramírez Pool



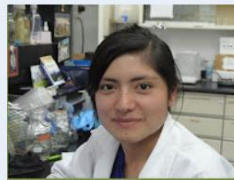
Cristina Niño Navarro



José Andrés Galeana López



Silvia Beatriz Altamirano Morales



Brenda Yazmin Vargas Hernández



José Luis Sánchez Figueroa



Lourdes López Cruz

Financiamiento y Asesoría

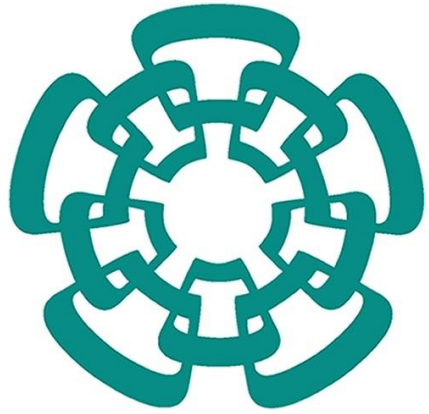


Aliados



VCGA
Consultores





Roberto Ruiz Medrano Beatriz Xoconostle Cázares

rmedrano@cinvestav.mx

beatriz_xoconostle@yahoo.com

bxoconos@cinvestav.mx



www.biotechnologia.cinvestav.mx

lab-biotechnologia.blogspot.com/

[@XoconostleC](https://twitter.com/XoconostleC)